



HAL
open science

Les occupations du Paléolithique moyen d'Havrincourt (62) : contexte chronostratigraphique, production lithique & apports

David Hérisson

► **To cite this version:**

David Hérisson. Les occupations du Paléolithique moyen d'Havrincourt (62) : contexte chronostratigraphique, production lithique & apports. Master. Séminaire Culture préhistorique 1 " Diversité du Paléolithique moyen en France ", Paris, France. 2017. hal-02326403

HAL Id: hal-02326403

<https://hal.science/hal-02326403>

Submitted on 22 Oct 2019

HAL is a multi-disciplinary open access archive for the deposit and dissemination of scientific research documents, whether they are published or not. The documents may come from teaching and research institutions in France or abroad, or from public or private research centers.

L'archive ouverte pluridisciplinaire **HAL**, est destinée au dépôt et à la diffusion de documents scientifiques de niveau recherche, publiés ou non, émanant des établissements d'enseignement et de recherche français ou étrangers, des laboratoires publics ou privés.



Distributed under a Creative Commons Attribution - NonCommercial - NoDerivatives 4.0
International License

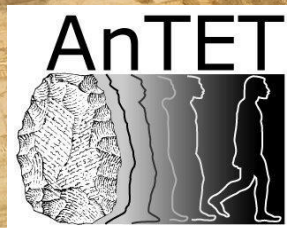
Les occupations du Paléolithique moyen d'Havrincourt (62) :

contexte chronostratigraphique, production lithique & apports

David HÉRISSON
CNRS-UMR7041 ArScAn
Equipe AnTET

Emilie Goval¹ ; Pierre Antoine² ; Sylvie
Coutard³ ; Jean-Luc Locht³ ; Guillaume
Jamet⁴ ; Nick Debenham⁵ ; Caroline Font⁶ ;
Jean-Jacques Bahain⁷ ; Olivier Moine²

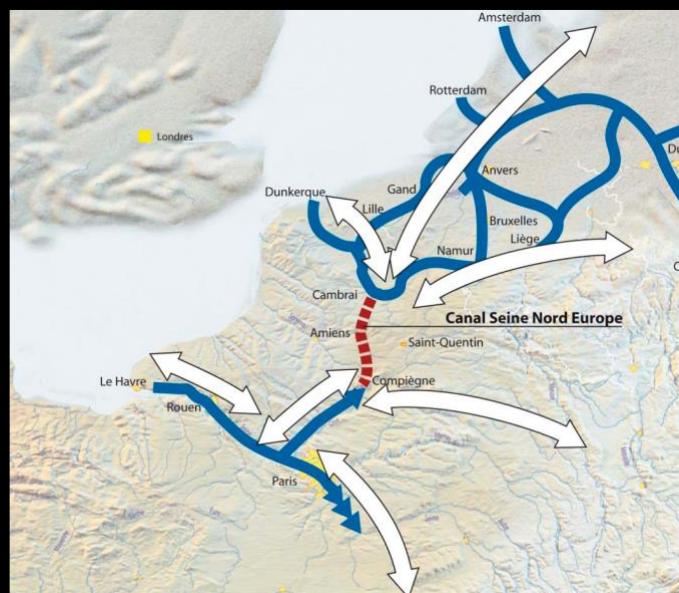
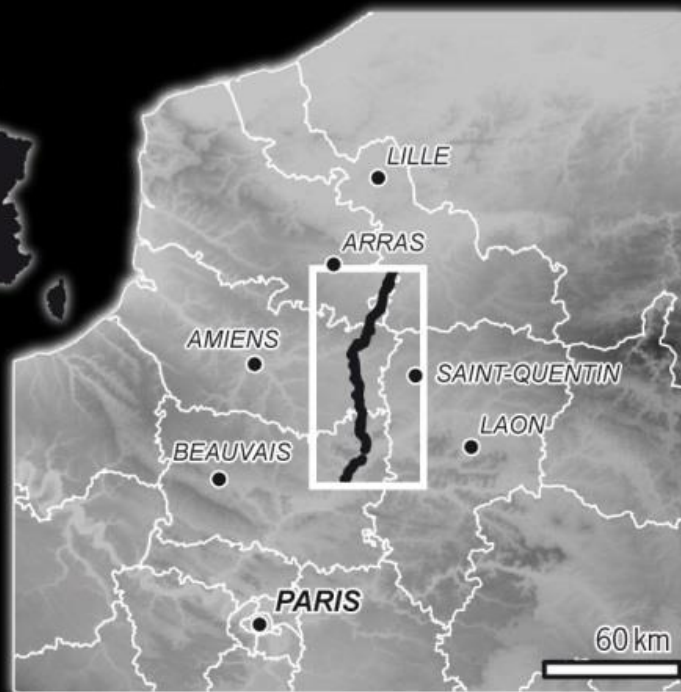
1 – DRAC-SRA Hauts-de-France, CNRS-UMR7194 ; 2- CNRS-UMR8591
3 - INRAP Nord-Picardie, CNRS-UMR8591 ; 4 - INRAP CSNE ; 5 -
Quaternary TL Surveys ; 6 - INRAP CSNE ; 7 - MNHN, CNRS-UMR7194



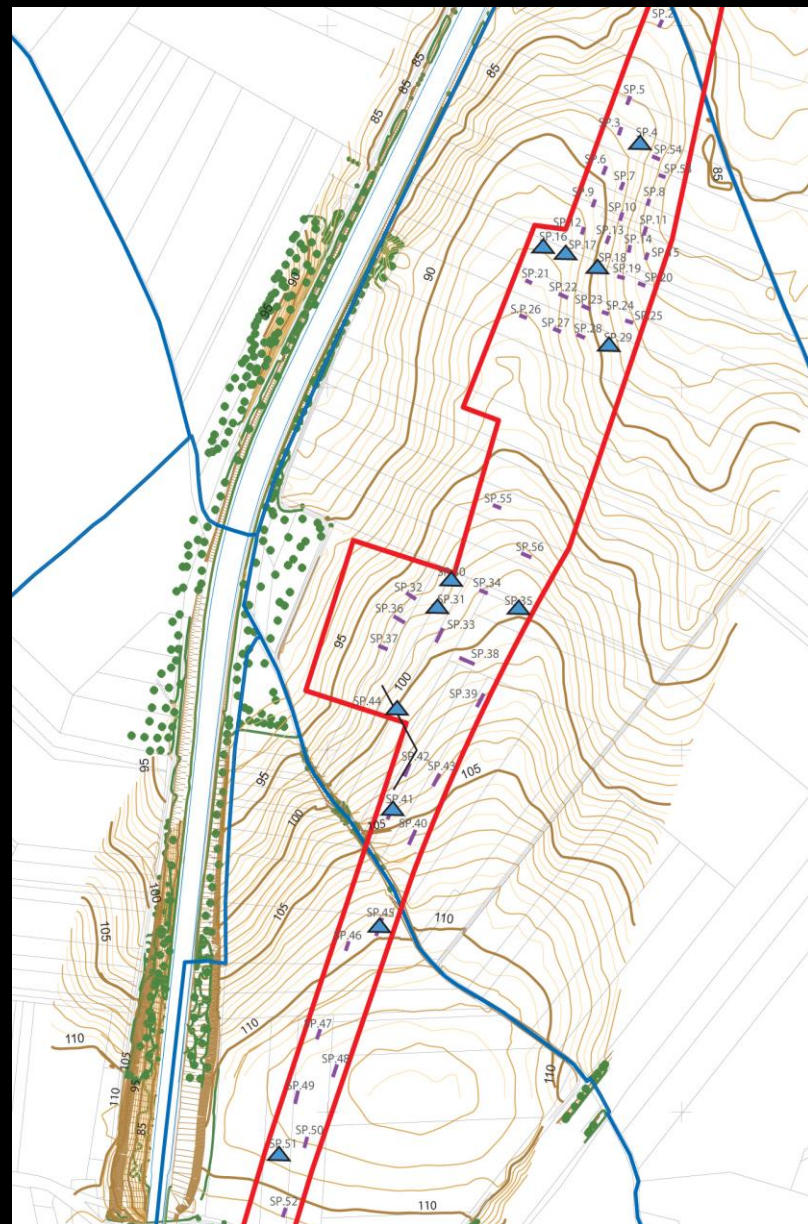
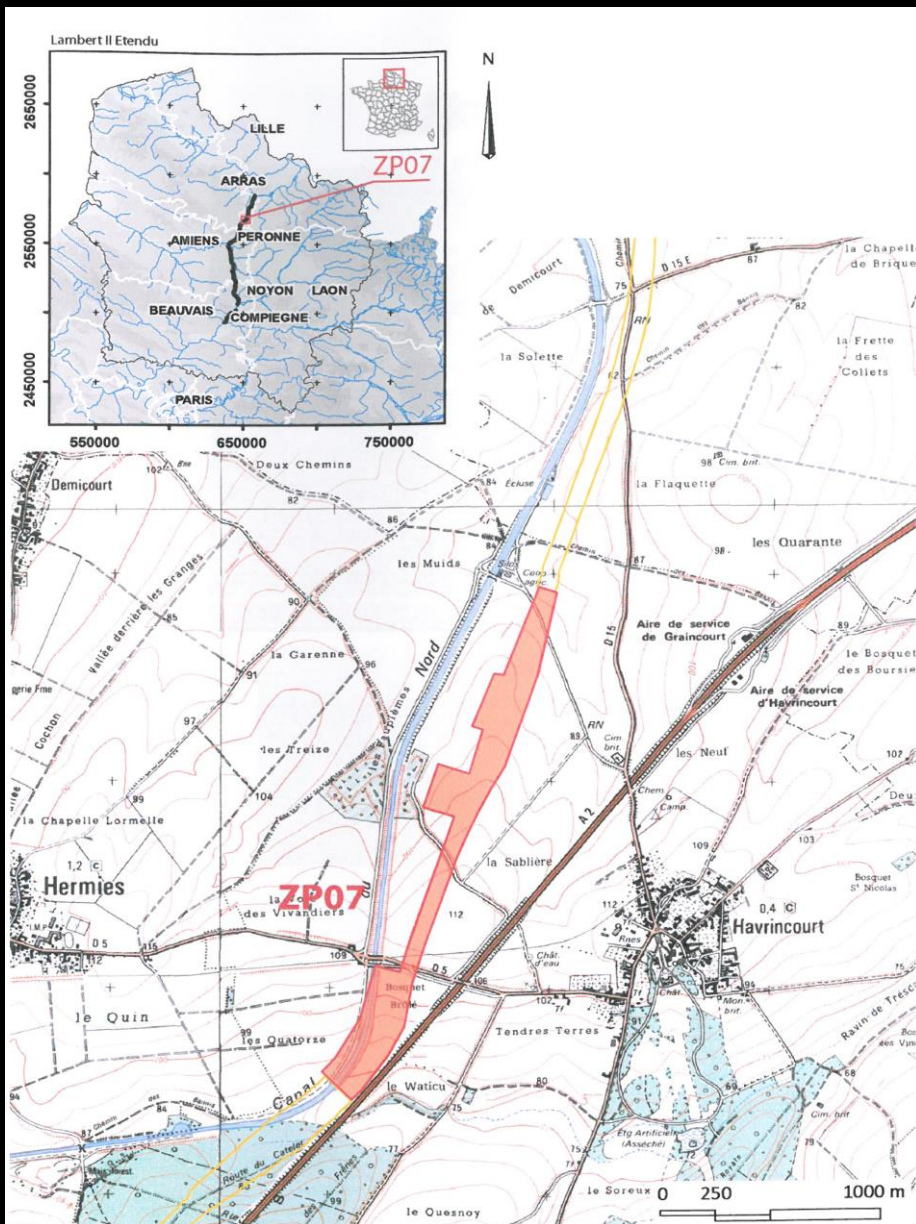
Le projet archéologique du Canal-Seine-Nord Europe



- Exploration archéologique depuis 2008
- Environ 2 500 Hectares et plus de 100 km de long
- Plus de 40 diagnostics et plus de 40 fouilles
- Plus de 150 archéologues, spécialistes et partenaires
- Une équipe technique : topographes, géophysiciens, spécialistes SIG et infographes
- Multipériode : Paléolithique, Néolithique, Mésolithique, âges du Bronze, âges du Fer, Antiquité, époque médiévale, séquelles de la première Guerre mondiale



Localisation géographique



La zone s'étend sur 376 340 m²
56 sondages ont été réalisés
12 sondages sont positifs pour le DGW

Diagnostic

Des sondages linéaires surfaciques



Diagnostic



Diagnostic



Diagnostic

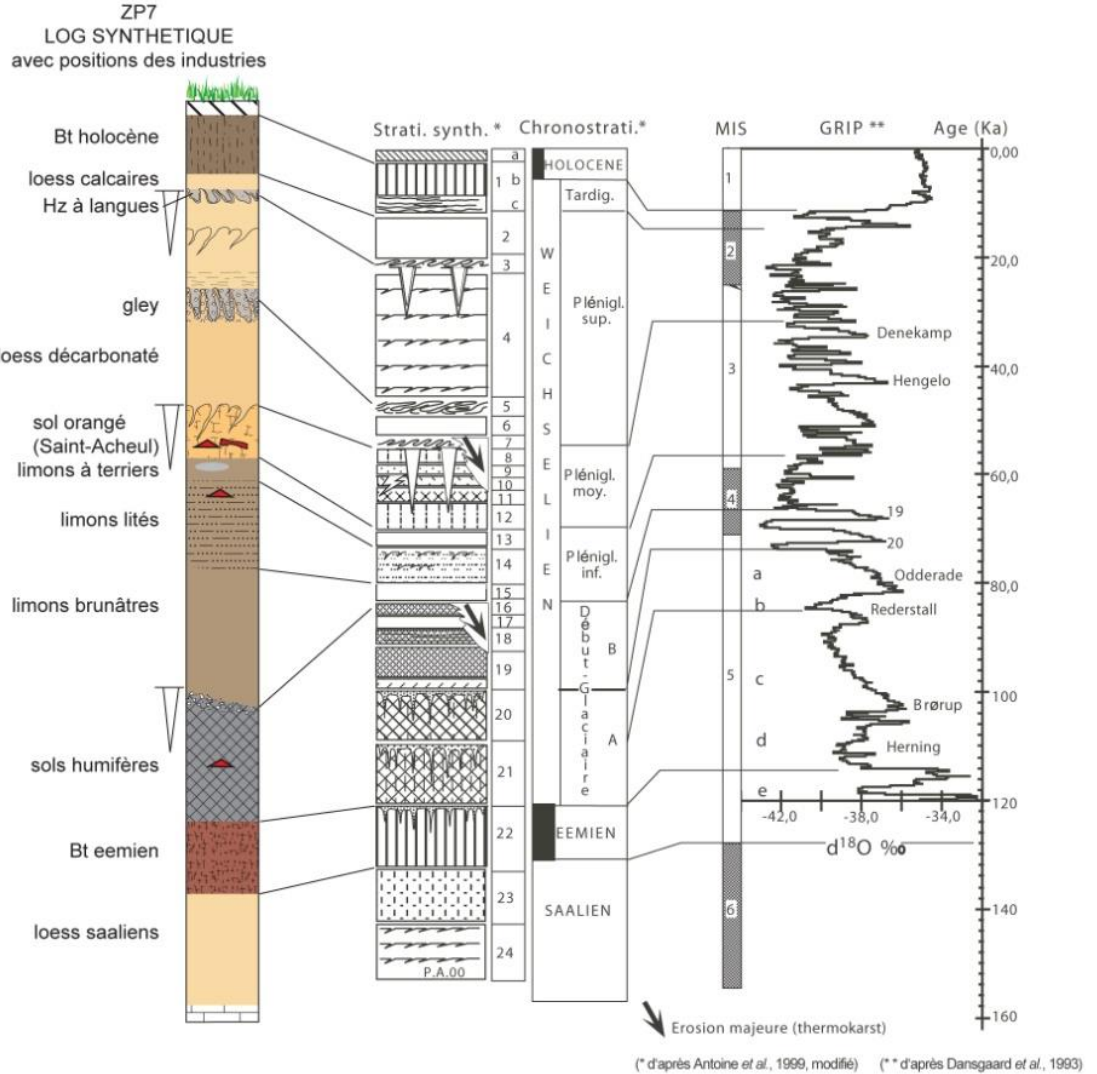
Des sondages profonds en puits



Diagnostic



Diagnostic



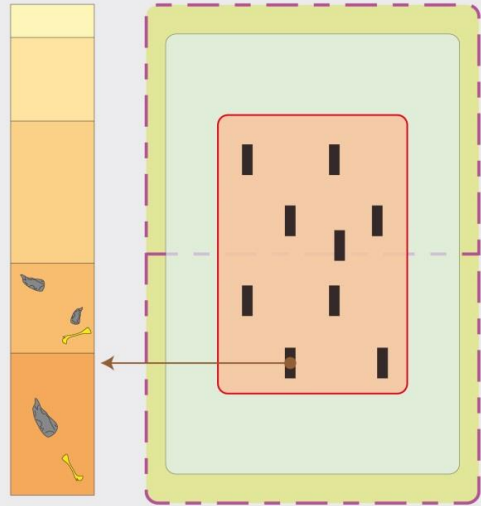
Séquence pédo-sédimentaire synthétique du Pléistocène supérieur de la France septentrionale ;
essai de corrélation avec les enregistrements globaux (d'après Antoine *et al.*, 2000)

- 1-Sol de surface (a : hz L ; b : hz Bt ; c : Bt en bandes, hz à doublets) 2-Loess calcaire 3-Horizon cryoturbe de Nagelbeek
4-loess calcaire lité à microfentes 5-Gley de tundra cryoturbe 6-Loess calcaire 7-Horizon à langues / grandes fentes
à coin de glace (ice-wedges) 8-Sol brun arctique 9-Limons sableux 10-Gley de tundra 11-Sol humifère de type prairie
arctique 12-Sol brun boréal (8 à 12 = Complexe de sols de Saint-Acheul/Villiers-Adam) 13-Loess/limons sableux
14-Colluvions litées à fentes de gel 15-Loess brunâtre 16 à 19-Sols steppiques avec unité de loess local non calcaire
interstratifiée (17) 20-Sol gris forestier sur colluvions (SS1) 21-colluvions argileuses/sol argilo-humique
(16 à 21 : complexe de sols de Saint-Saufflieu) 22-Horizon Bt de sol brun lessivé (Rocourt/Elbeuf 1)
23-Loess calcaire saalien 24-Loess calcaire lité saalien.

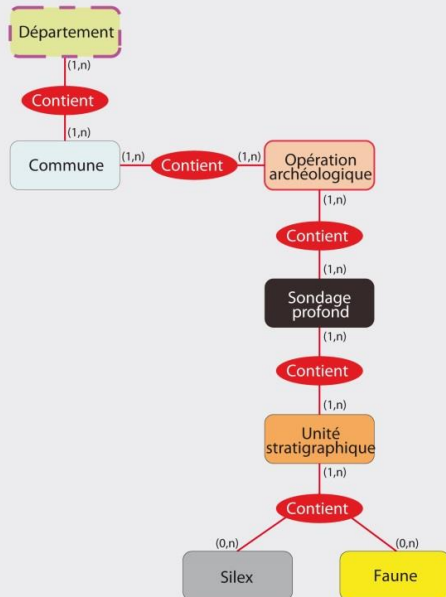
Diagnostic

Figure 1 : structure schématique d'une opération archéologique de sondages profonds

-  Département
-  Commune
-  Opération archéologique
-  Sondage profond
-  Unité stratigraphique
-  Silex
-  Faune



Modèle conceptuel de la base de donnée (type Merise)



SONDAGES

Nom du sondage
CSNE_ZP9_7

Données de localisation

X (m)	710470.5865	Acquisition des coordonnées
Y (m)	7017840.363	Coordonnées GPS
Z (m)	48.0000000001	Acquisition de l'altitude
Position dans le paysage		GPS
versant		

Données descriptives

Type de sondage	pelle hydr. godet
Profondeur du sondage (m)	2.200000476837
Substrat atteint	<input type="checkbox"/>
Epaisseur de la couverture (m)	
Altitude du substrat (m)	
Nature du substrat	

Données de fouille

Prescription de fouille	<input type="checkbox"/>
BD issue de la fouille	

UNITE STRATIGRAPHIQUE LISTE DES UNITES STRATIGRAPHIQUES

N°: 1

Lithologie

TVI/ap		Datation absolue	0
Pédostratigraphie		Méthode de datation	
Interprétation chronologique		Présence de silex taillé(s)	<input type="checkbox"/>
Holocène		Nombre de pièces lithiques	0
Stade isotopique	1	Présence de faune	<input type="checkbox"/>
Profondeur du toit (m)	0	Présence de pergelisol	<input type="checkbox"/>
Profondeur de la base (m)	0.35	Remarques	
Altitude supérieure (m)	48.0000000001		
Altitude inférieure (m)	47.650000008061		

MOBILIER LITHIQUE | **DESCRIPTION FAUNE** | **DESCRIPTION PERGELISOL**

N° (Nouv.)

En place ?

Chaîne opératoire

Diagnostic

N°: Nom de l'opération: CSNE_ZP9 Année: 2008

N°AFAN/INRAP: CA15000901
 N° DRAKAR/Patriarche
 Nom du projet d'aménagement: Canal Seine-Nord Europe

Responsable d'Opération: Nathalie Seiller
 Rapport

N°	N° Opé.	NOM
1	1	PAS-DE-CALAIS
* (Nouv.) 1		

Entrée: 1 sur 1 Recherche

N°	N° Opé.	NOM
1	1	OISY-LE-VERGER
* (Nouv.) 1		

Entrée: 1 sur 1 Recherche

SONDAGES

Nom du sondage: CSNE_ZP9_7

Données de localisation

X (m): 710470.5865
 Y (m): 7017840.363
 Z (m): 48.000000001

Acquisition des coordonnées: GPS
 Acquisition de l'altitude: GPS

Position dans le paysage versant:

Données descriptives

Type de sondage: pelle hydr. godet
 Profondeur du sondage (m): 2.200000476837
 Substrat atteint:
 Epaisseur de la couverture (m):
 Altitude du substrat (m):
 Nature du substrat:

Données de fouille

Prescription de fouille:
 BD issue de la fouille:

Type de documentation:

UNITE STRATIGRAPHIQUE LISTE DES UNITES STRATIGRAPHIQUES

N°: 1

NAVIGATION - Unités stratigraphiques

Lithologie: TVIAp

Pédostratigraphie:

Interprétation chronologique: Holocène

Stade isotopique: 1

Profondeur du toit (m): 0

Profondeur de la base (m): 0.35

Altitude supérieure (m): 48.0000000001

Altitude inférieure (m): 47.6500000006061

Datation absolue: 0

Méthode de datation:

Présence de silex taillés(s): Nombre de pièces lithiques: 0

Présence de faune:

Présence de pergélisol:

Remarques:

UNITE STRATIGRAPHIQUE LISTE DES UNITES STRATIGRAPHIQUES

N°: 1

NAVIGATION - Unités stratigraphiques

Lithologie: TVIAp

Pédostratigraphie:

Interprétation chronologique: Holocène

Stade isotopique: 1

Profondeur du toit (m): 0

Profondeur de la base (m): 0.35

Altitude supérieure (m): 48.0000000001

Altitude inférieure (m): 47.6500000006061

Présence de silex taillés(s): Nombre de pièces lithiques: 0

Présence de faune:

Présence de pergélisol:

Remarques:

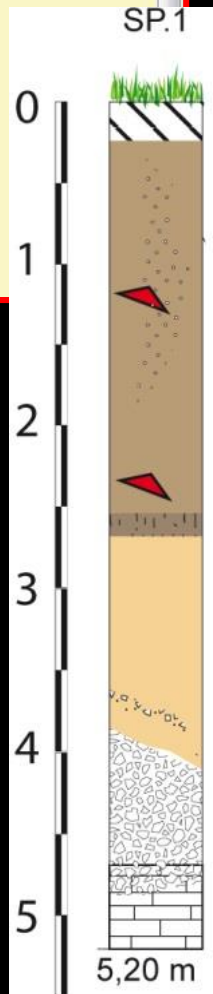
MOBILIER LITHIQUE DESCRIPTION FAUNE DESCRIPTION PERGELISOL

N° (Nouv.):

En place?

Chaîne opératoire:

Entrée: 1 sur 4 Recherche



Diagnostic

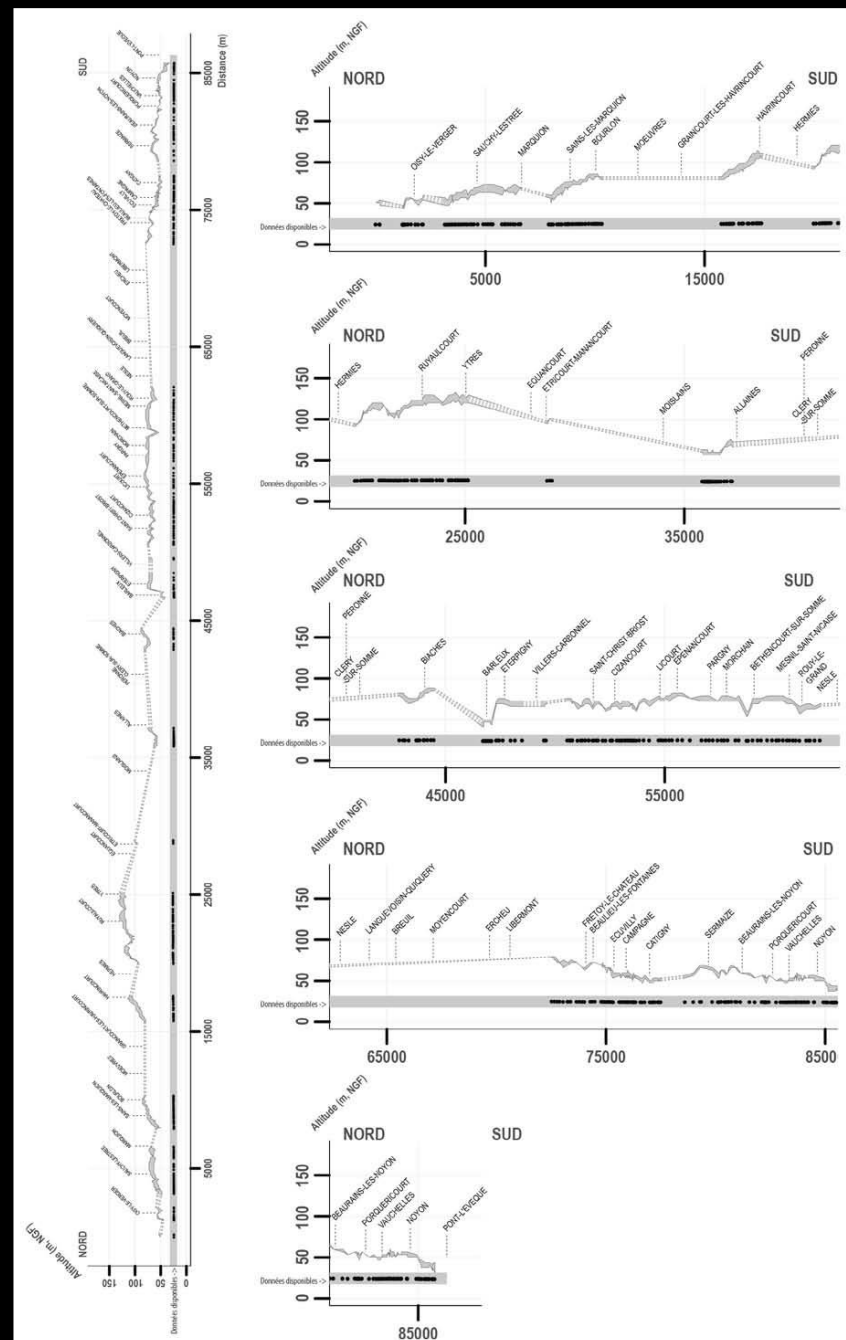
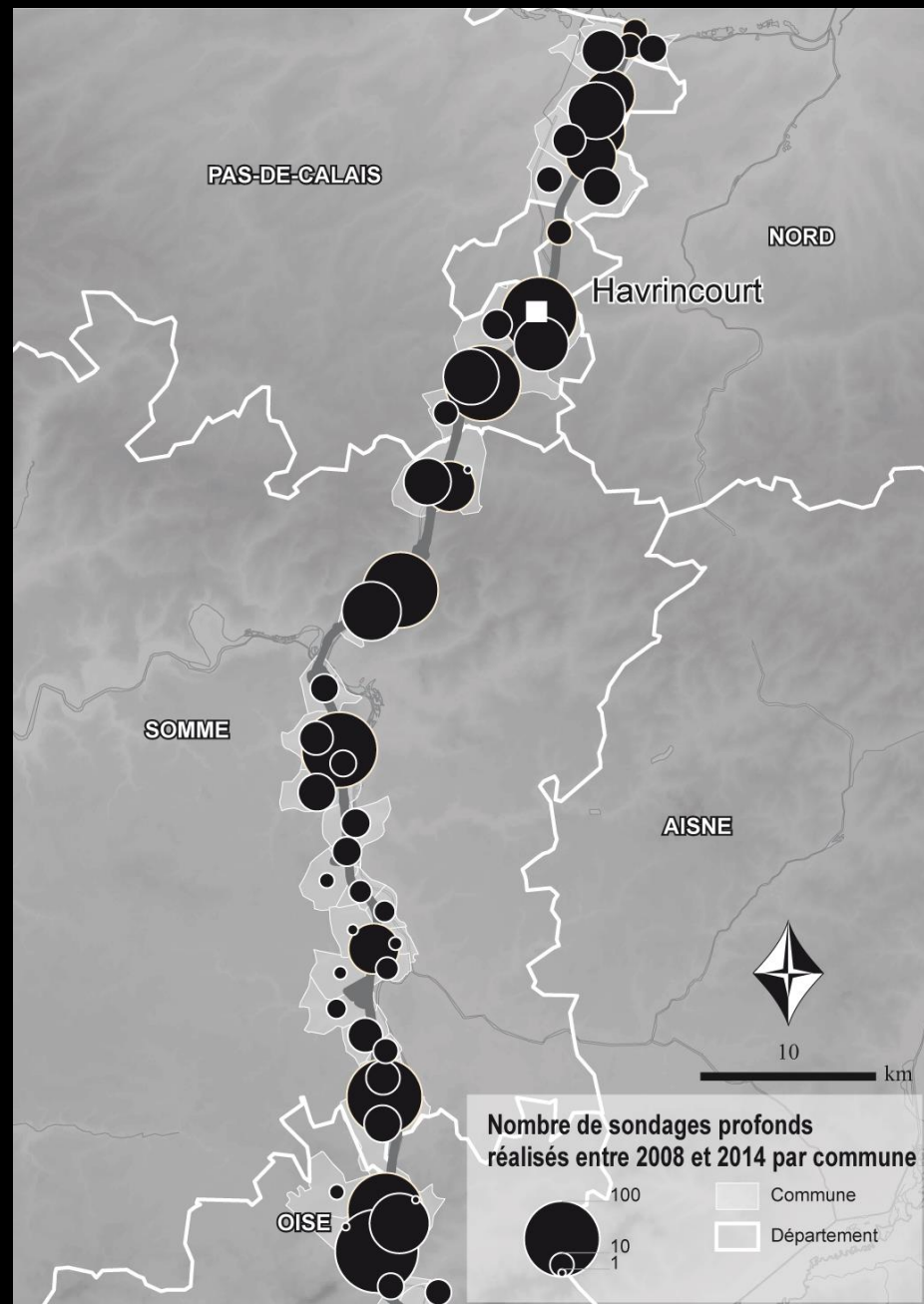
Bilan des diagnostics paléolithiques

Diagnostiquer en contexte paléolithique : particularités

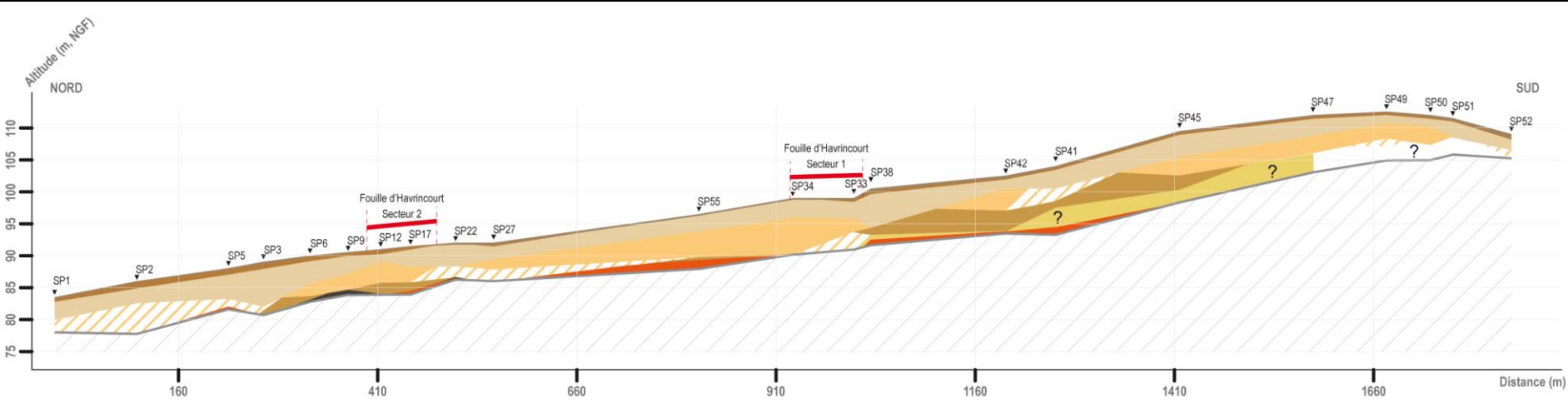
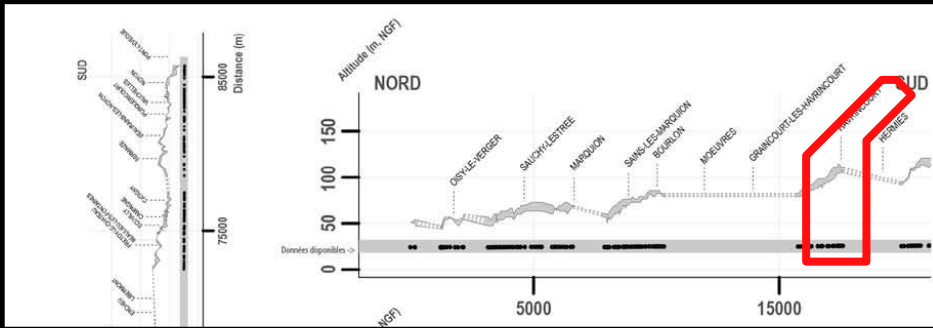
- ⇒ Contexte spécifique : les indices d'occupation humaine sont inclus dans des dépôts sédimentaires d'origine éolienne
- ⇒ Sondages profonds – Environ 900 depuis 2008



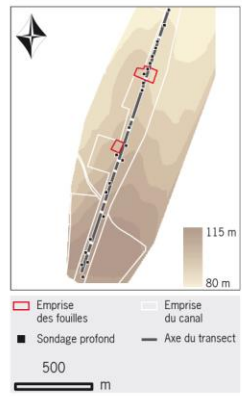
Diagnostic



Diagnostic

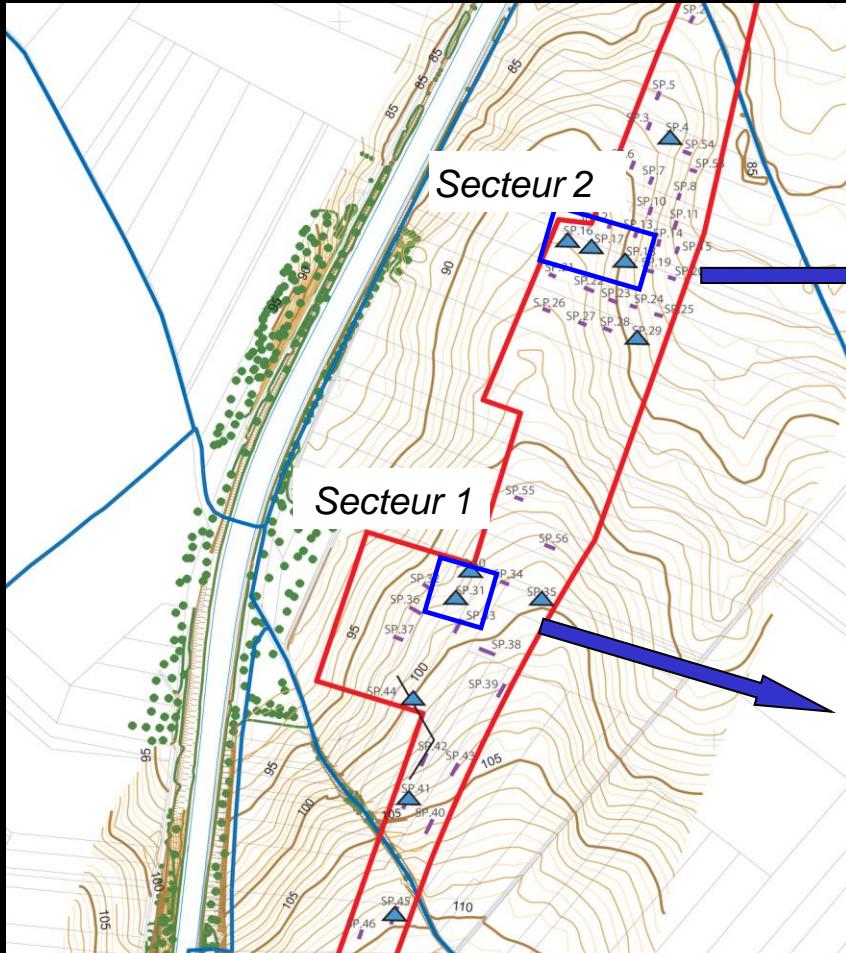


- Holocène (horizon Ap)
- Tardi-Holocène (Bt sol brun lessivé)
- Pléniglaciaire supérieur
- Pléniglaciaire moyen
- Pléniglaciaire inférieur
- Pléniglaciaire inférieur et/ou moyen
- Début Glaciaire weichselien
- ? Saalien ?
- Pléistocène indifférencié
- toit du substrat crayeux (sauf SP52, Tertiaire)



Havrincourt 1 et 2 (2010 – 2011)

Prescription L. Vallin



© Photo D. Gliksman

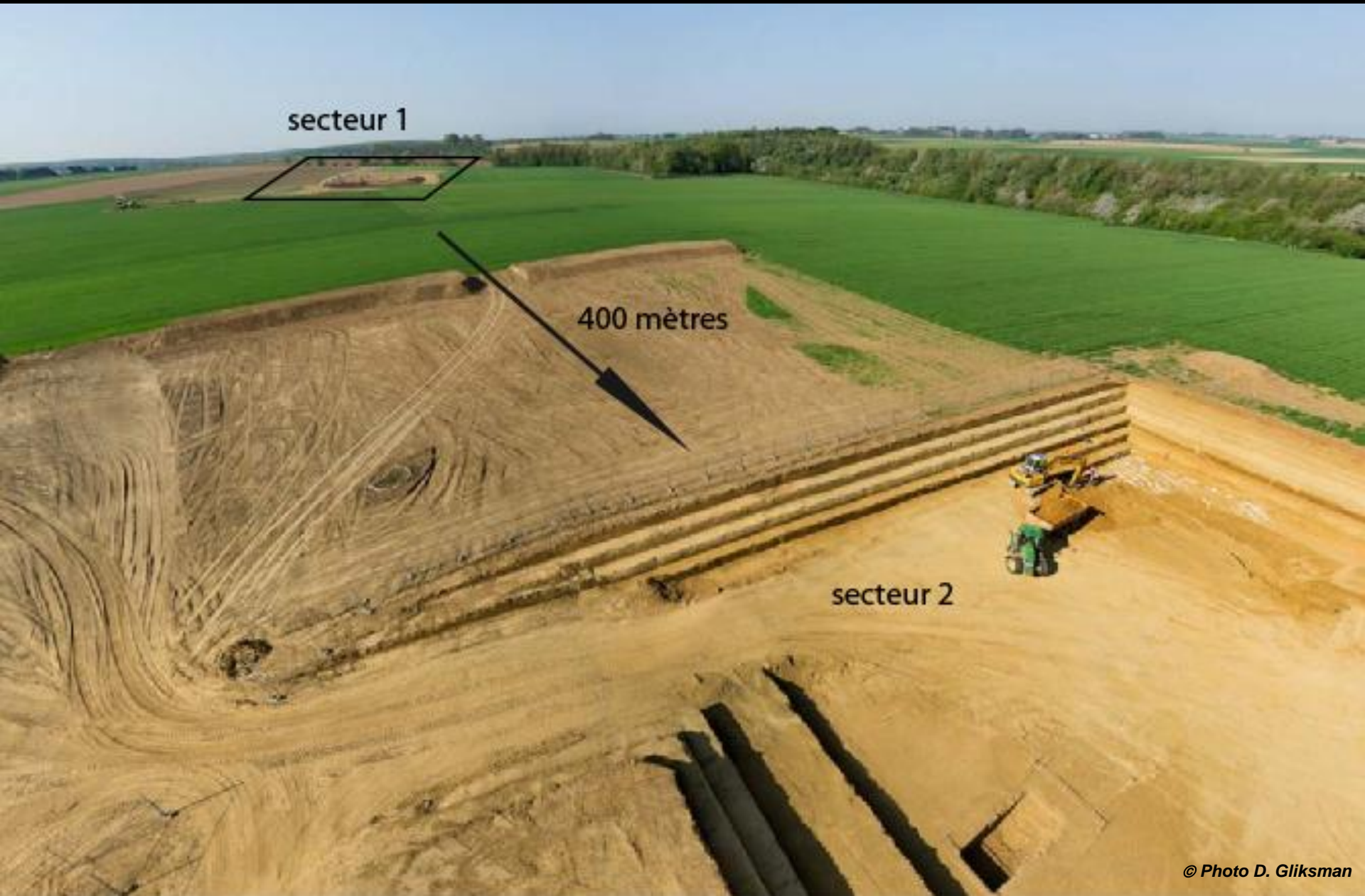
Secteur 2 – 4100 m²
mars – aout 2011



Secteur 1 – 1700 m²
octobre - décembre 2010

Havrincourt 1 et 2 (2010 – 2011)

Prescription L. Vallin

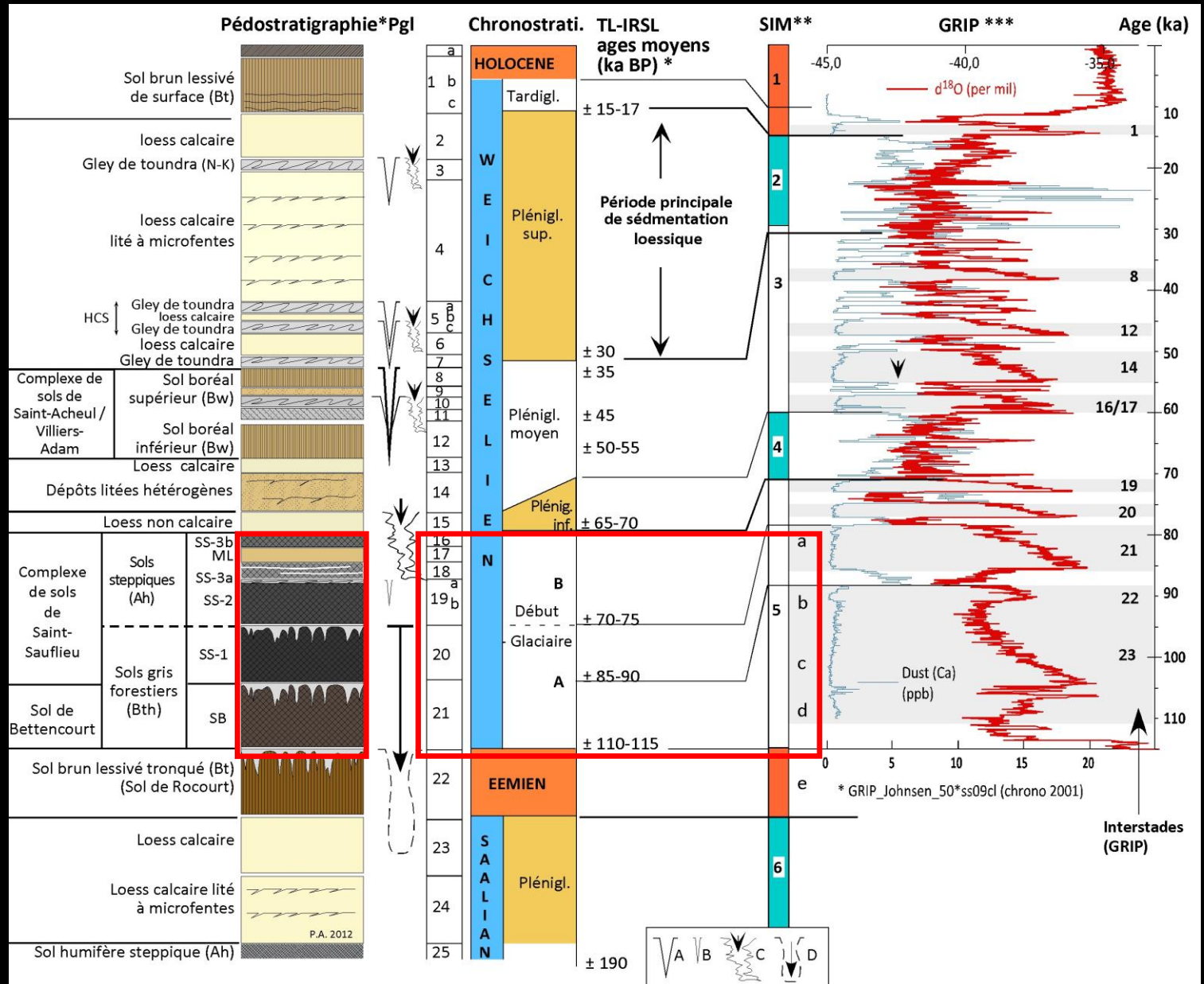


secteur 1

400 mètres

secteur 2

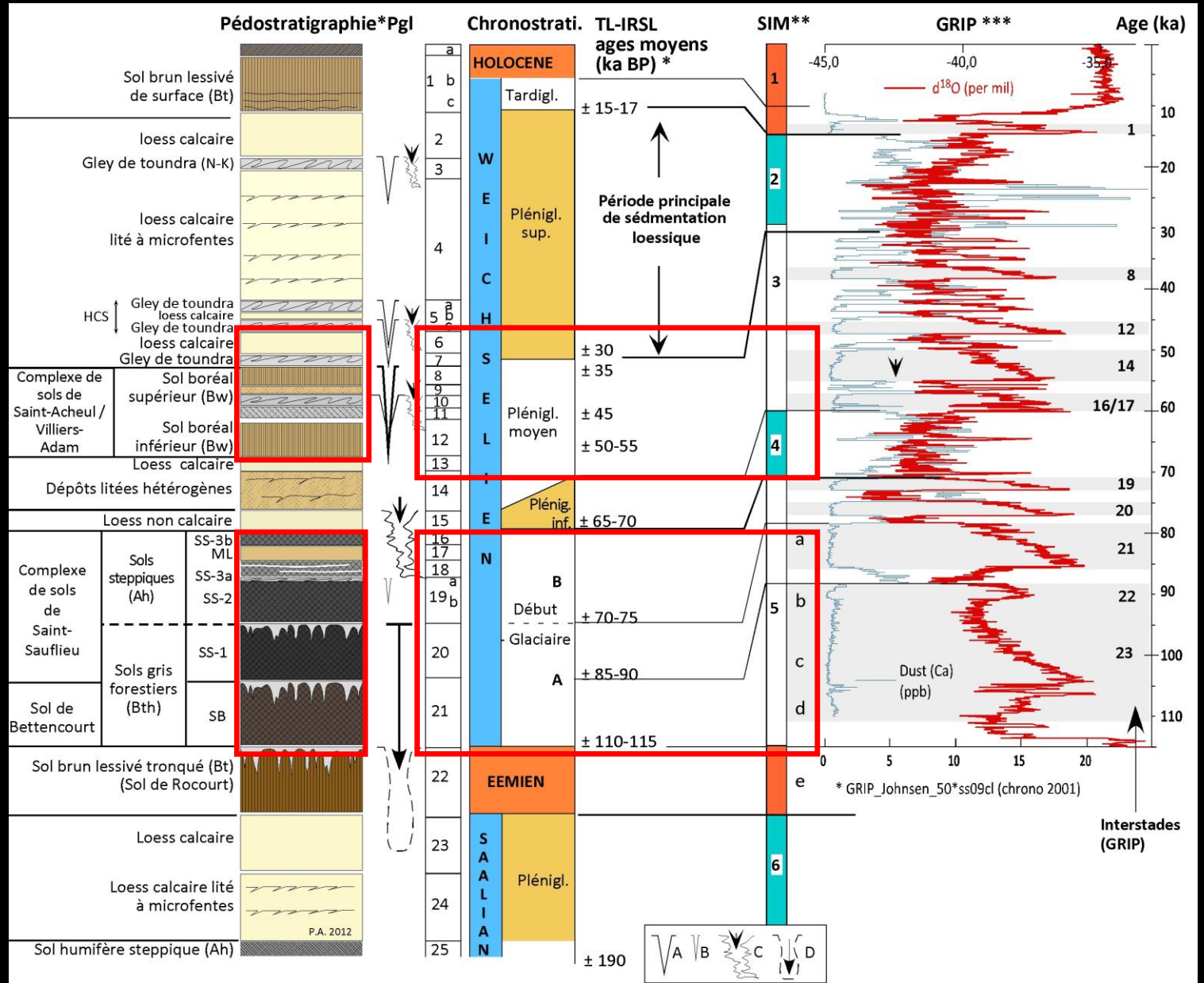
Séquence synthétique du dernier cycle interglaciaire - glaciaire



Séquence synthétique du dernier cycle interglaciaire - glaciaire

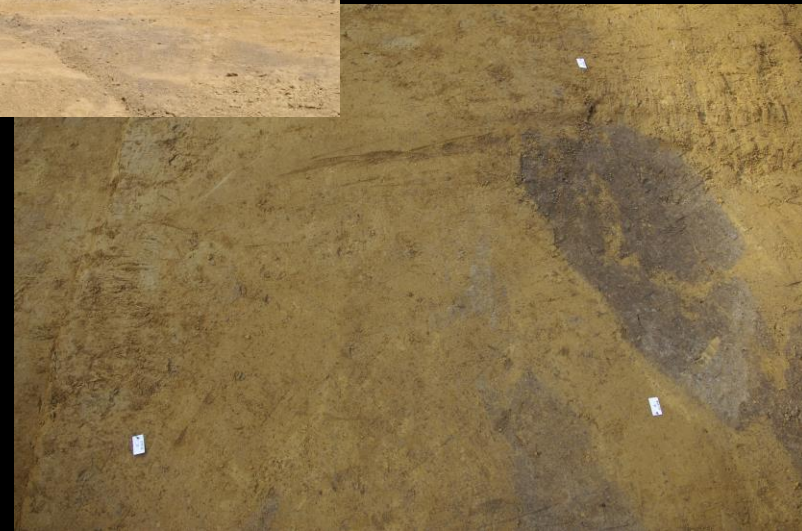
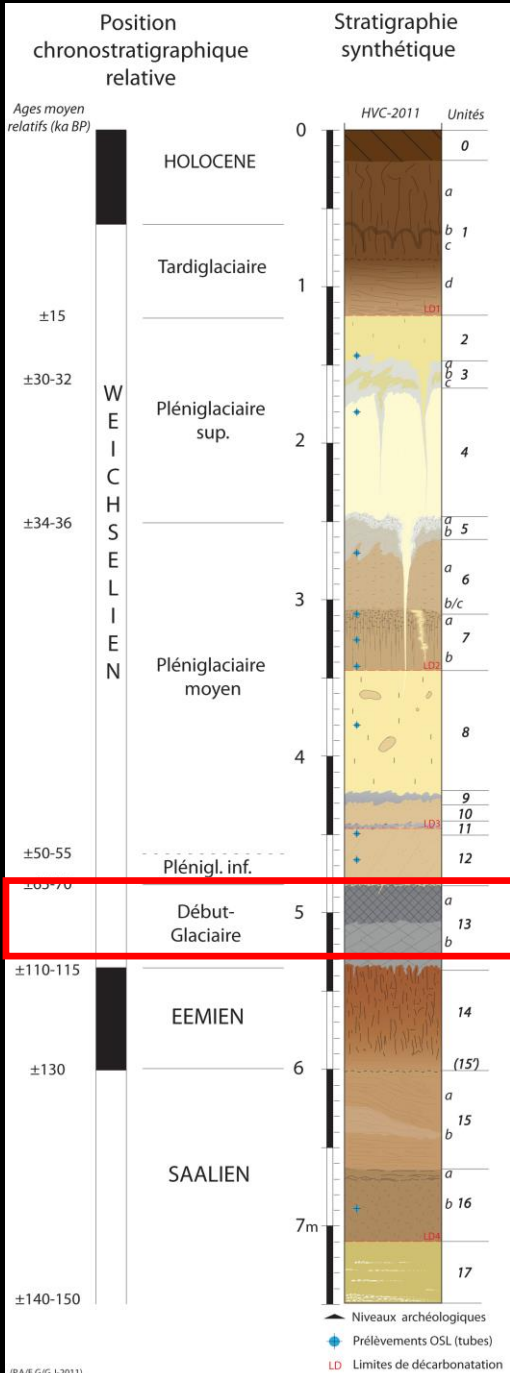
- Renancourt
- Attilly 3
- Belloy-en-Santerre
- Rouvroy
- Attilly 1&2
- Ploisy 1
- Savy/Amiens

- Beauvais 1&2
- Fitz-James (99)
- Blangy-Tr. sup.
- Gouy-St.André
- Blangy-Tr.-inf.
- Villers-Bret. sup.
- Auteuil sup.
- Bettencourt Niv.1
- Bettencourt Niv. 2a
- Chavignon
- Bettencourt Niv. 2b
- Fresnoy Niv.1
- Bettencourt Niv. 3a
- Fresnoy Niv. 2
- Bettencourt Niv. 3b



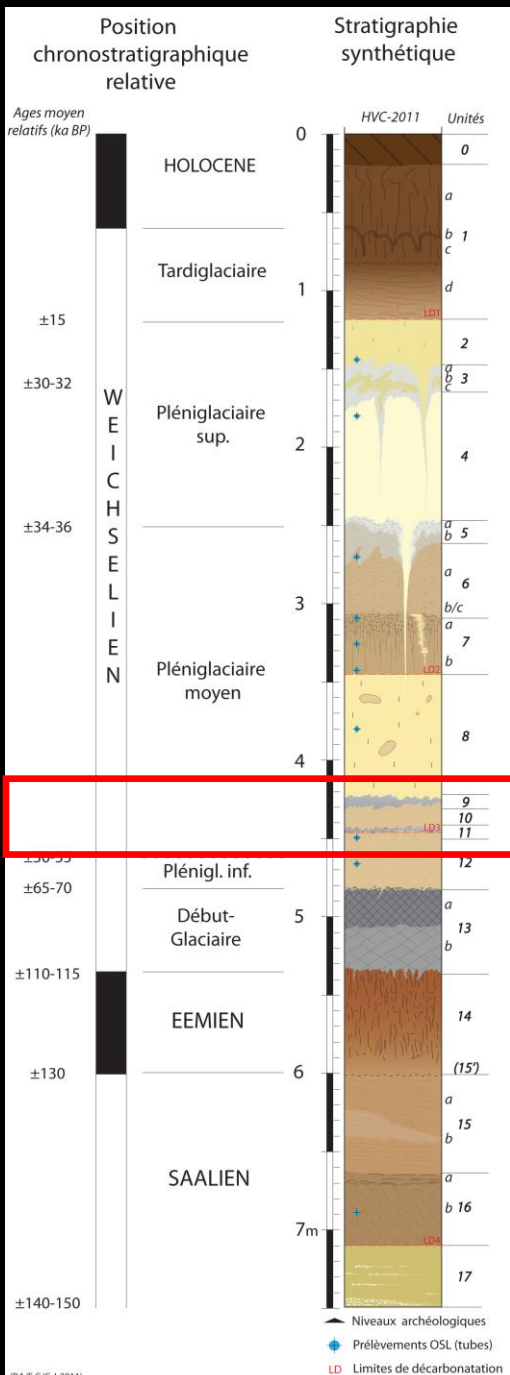
Une séquence stratigraphique commune aux deux secteurs, ponctuée par des marqueurs chronostratigraphiques forts

Les dépôts du Début Glaciaire Weichselien : entre déplacement de blocs, remplissage de terriers et sous-tirage



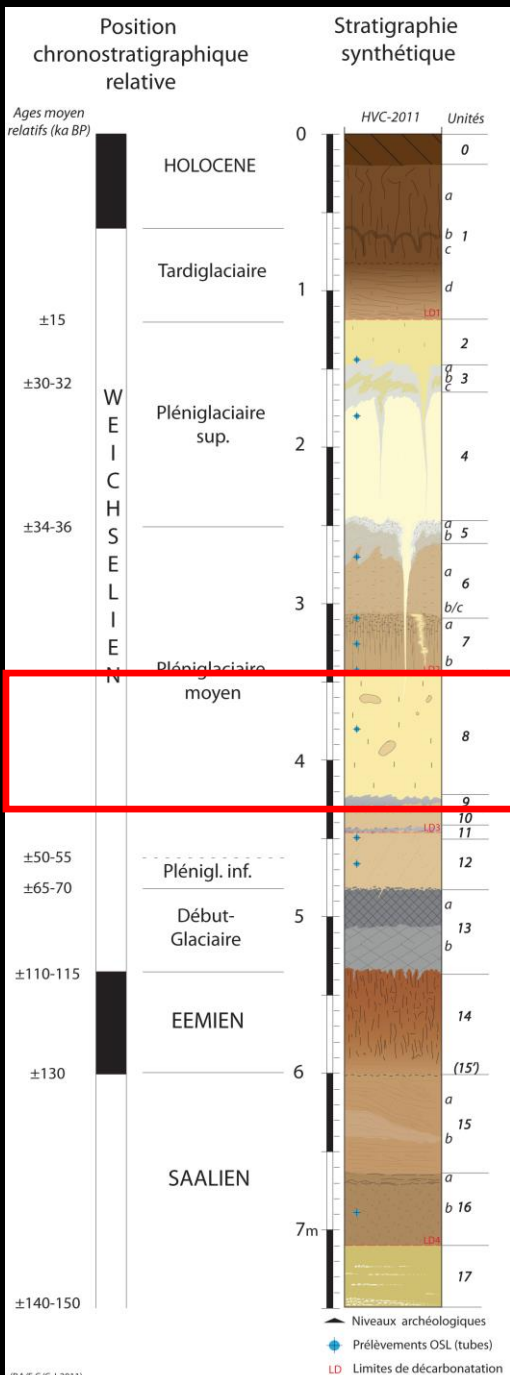
Une séquence stratigraphique commune aux deux secteurs, ponctuée par des marqueurs chronostratigraphiques forts

Les premiers dépôts du Pléniglaciaire moyen Weichselien : Limons loessiques brun (horizon de sol brun boréal)



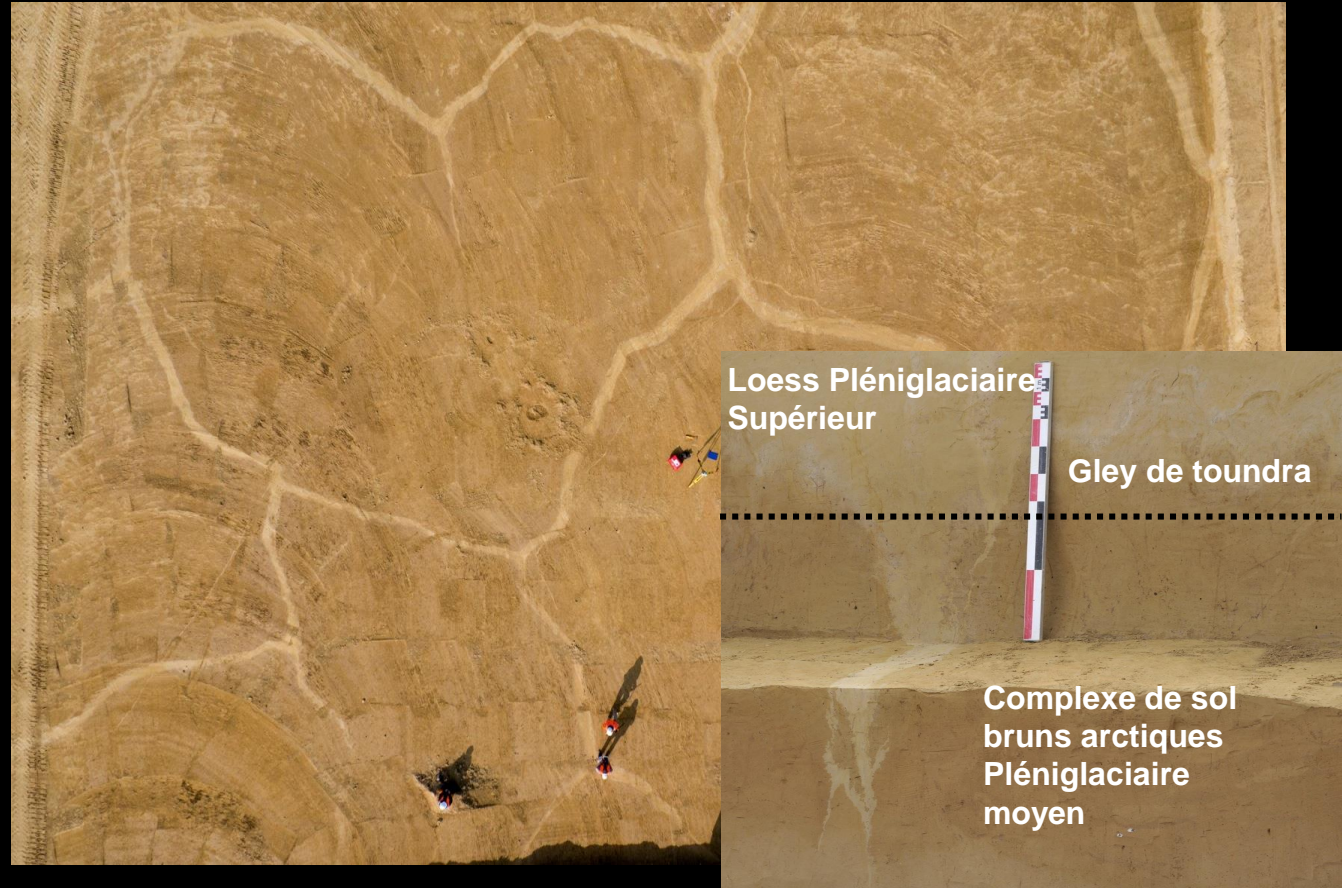
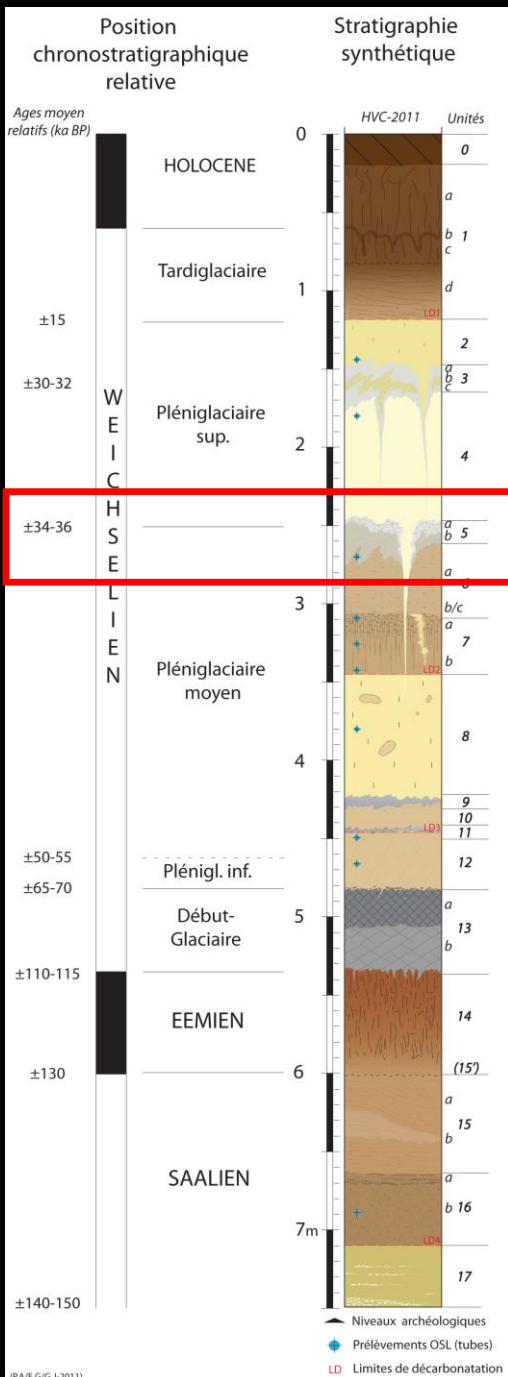
Une séquence stratigraphique commune aux deux secteurs, ponctuée par des marqueurs chronostratigraphiques forts

Les autres dépôts du Pléniglaciaire moyen Weichselien :
Limos brun-jaune (horizon à terriers)

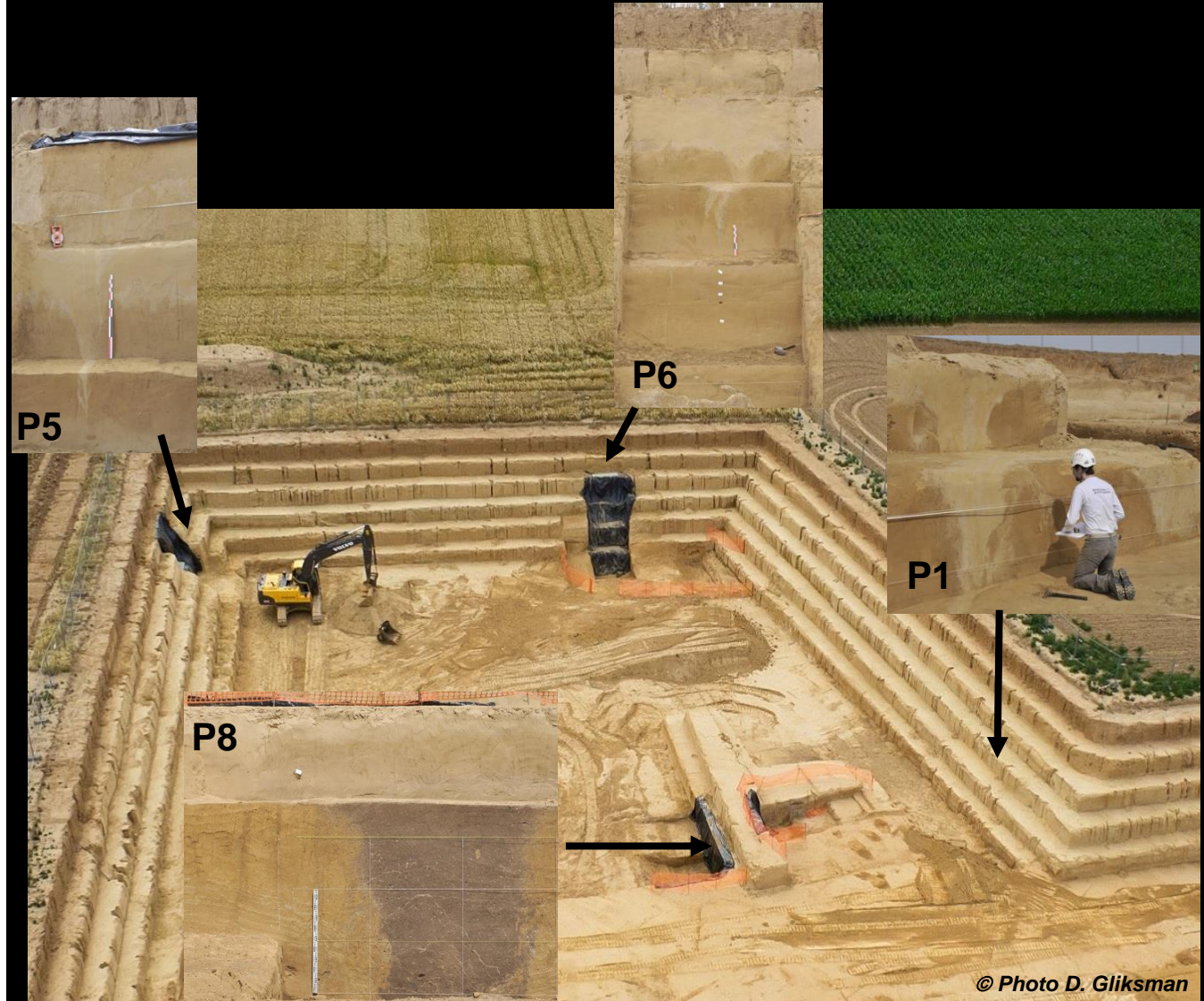
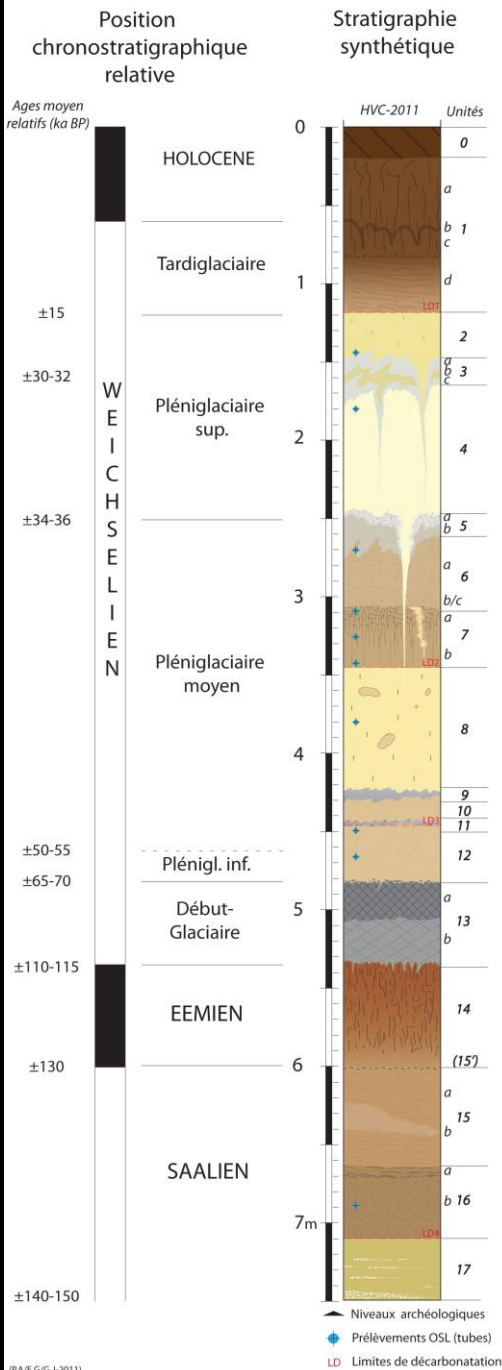


Une séquence stratigraphique commune aux deux secteurs, ponctuée par des marqueurs chronostratigraphiques forts

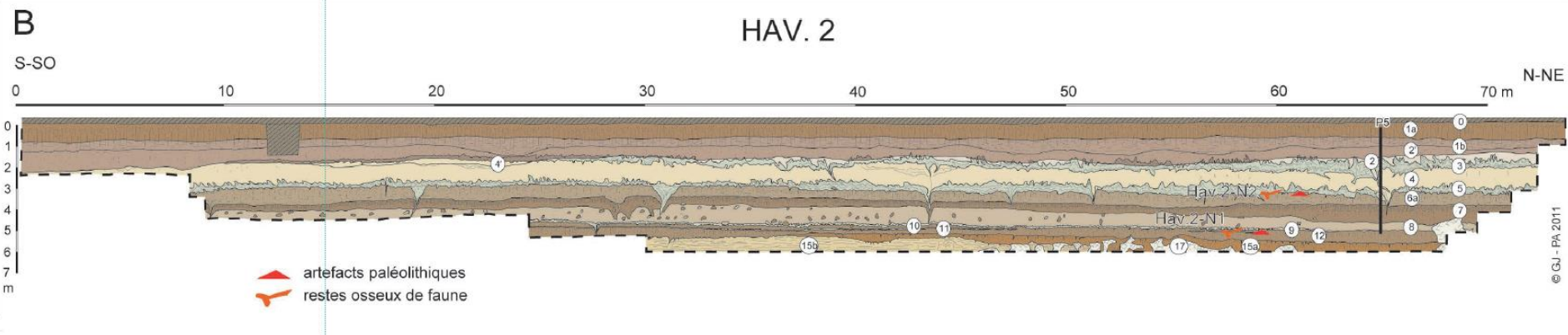
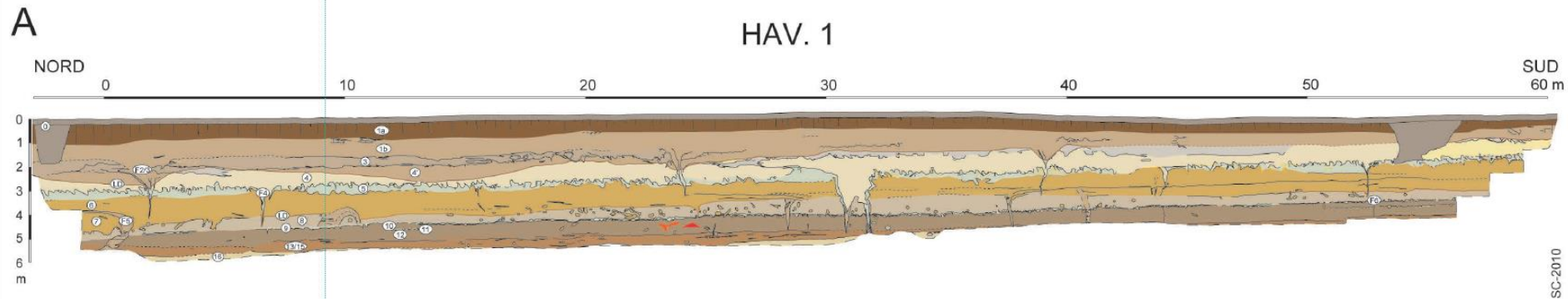
Transition Pléniglaciaire moyen / Pléniglaciaire supérieur :
réseau principal de grandes fentes à coins de glace



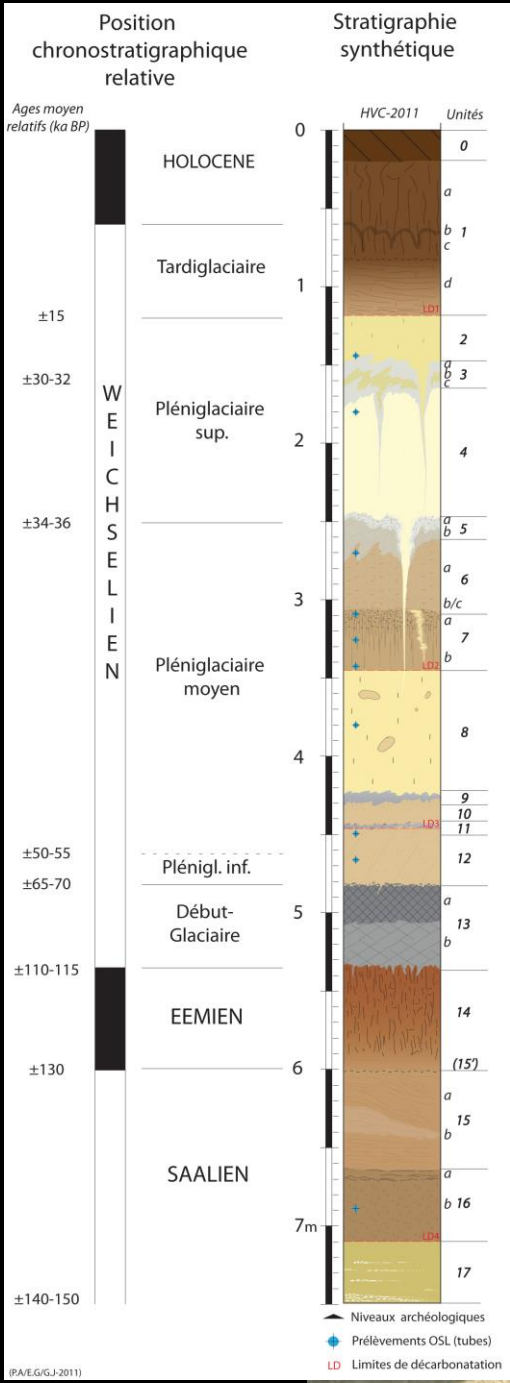
Des prélèvements effectués en nombre et par différentes approches pour un calage chronostratigraphique précis et fiable



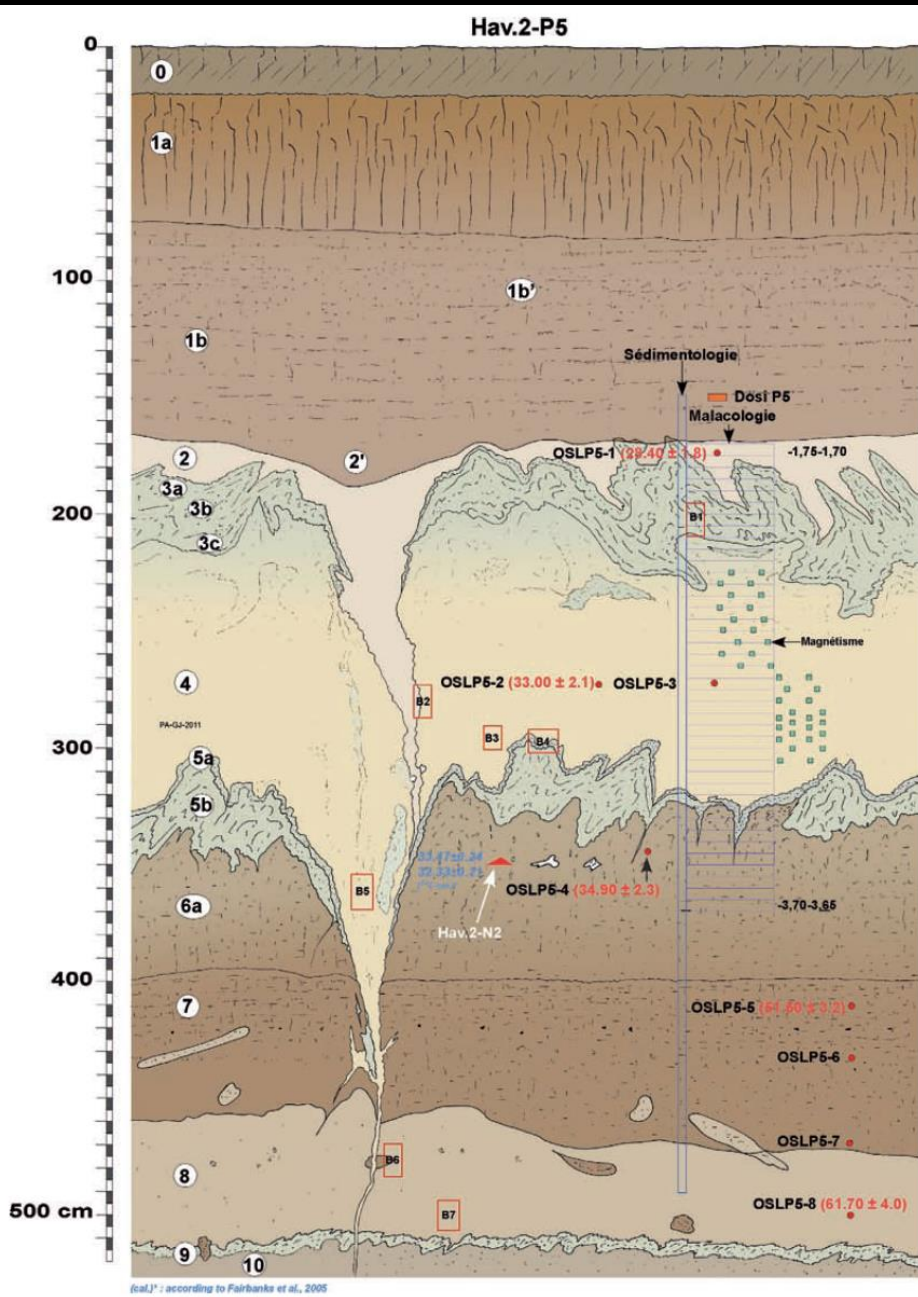
Des prélèvements effectués en nombre et par différentes approches pour un calage chronostratigraphique précis et fiable



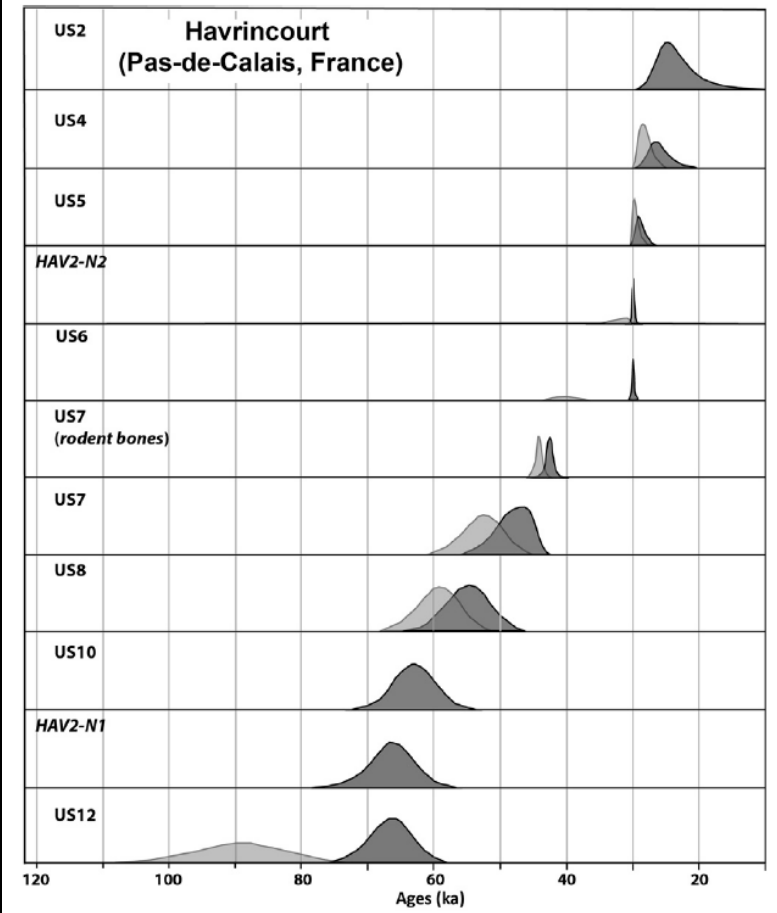
Des prélèvements effectués en nombre et par différentes approches pour un calage chronostratigraphique précis et fiable



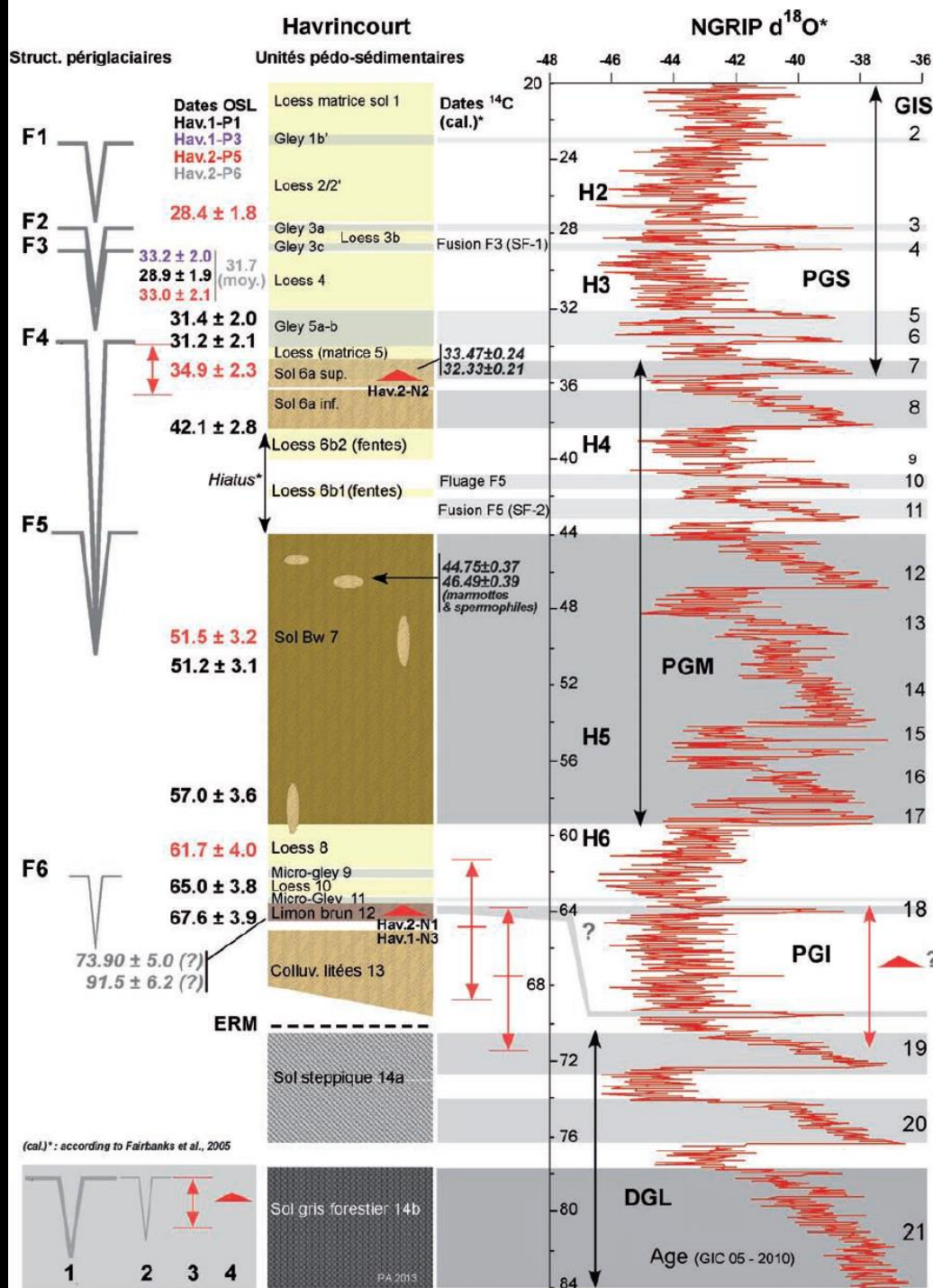
Des prélèvements effectués en nombre et par différentes approches pour un calage chronostratigraphique précis et fiable



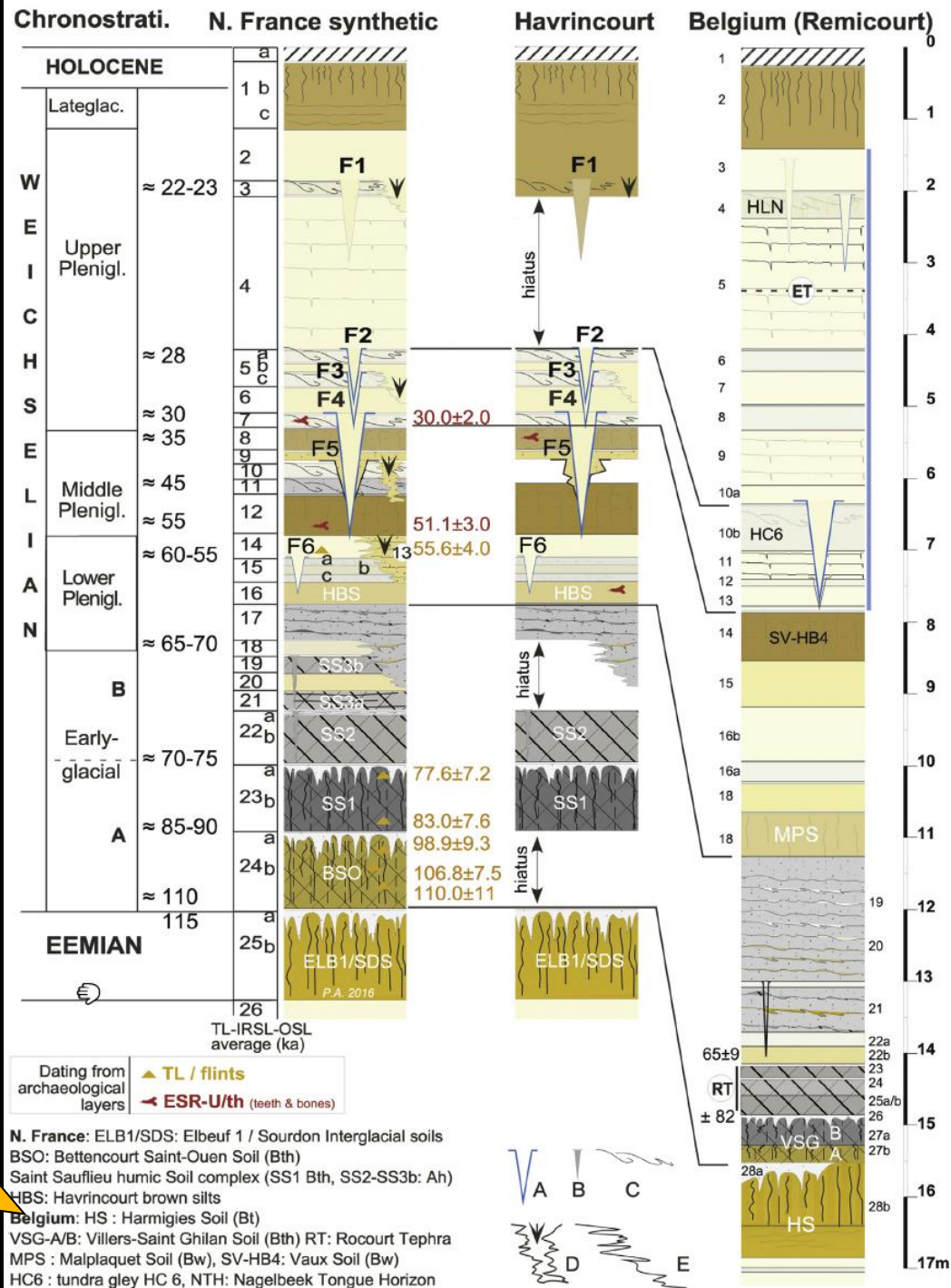
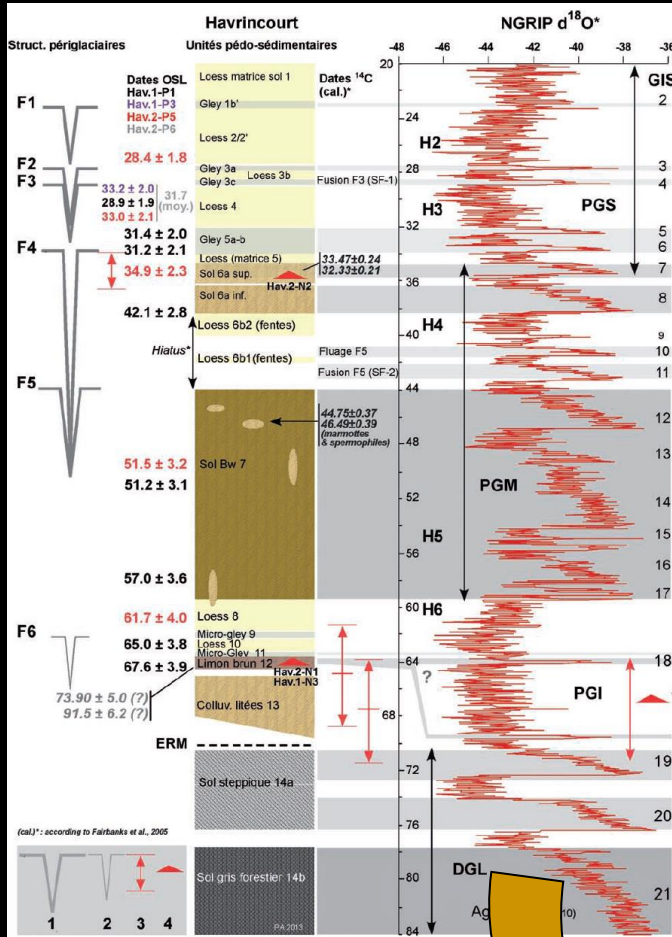
Des prélèvements effectués en nombre et par différentes approches pour un calage chronostratigraphique précis et fiable



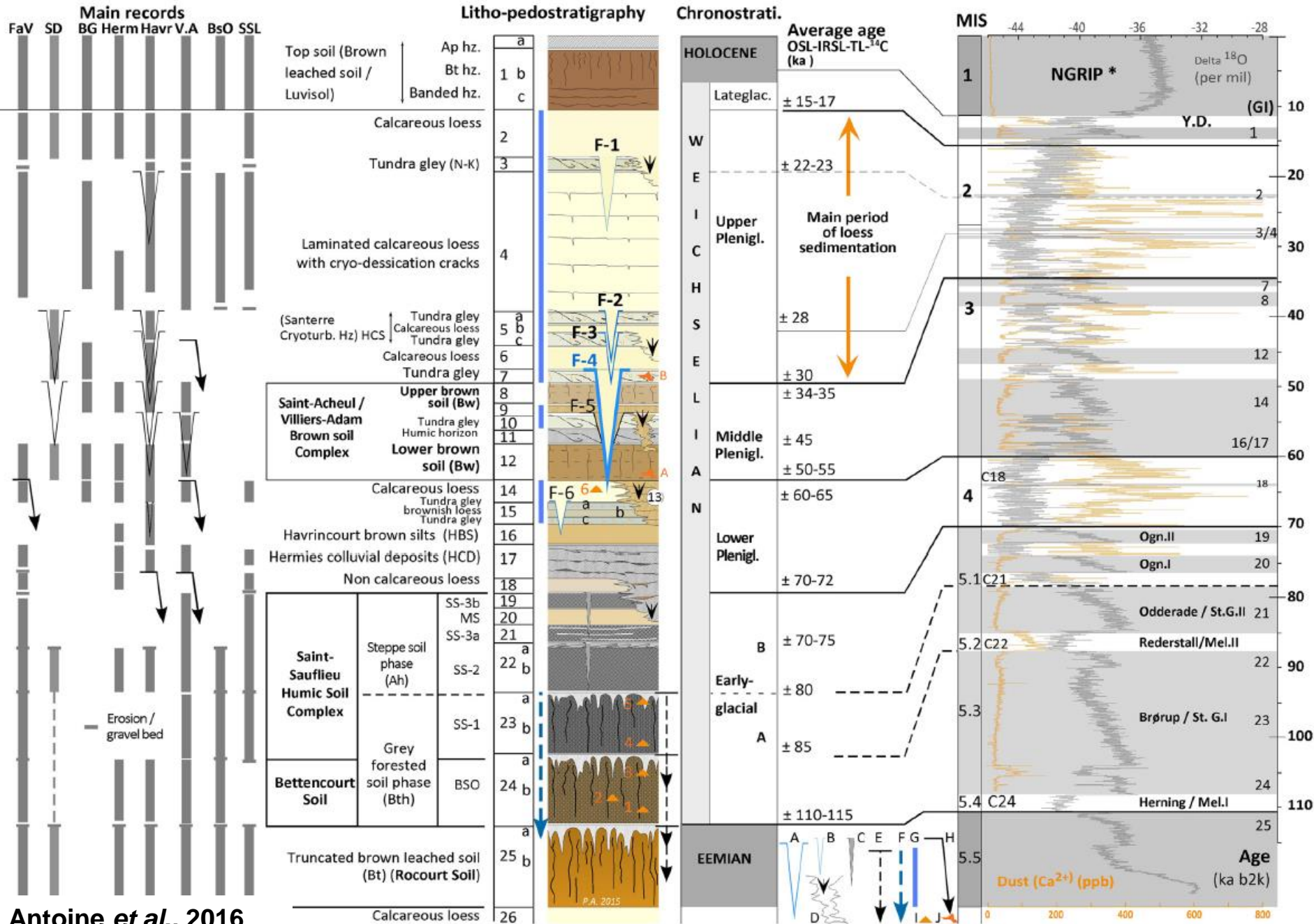
Guérin et al. 2017 QG



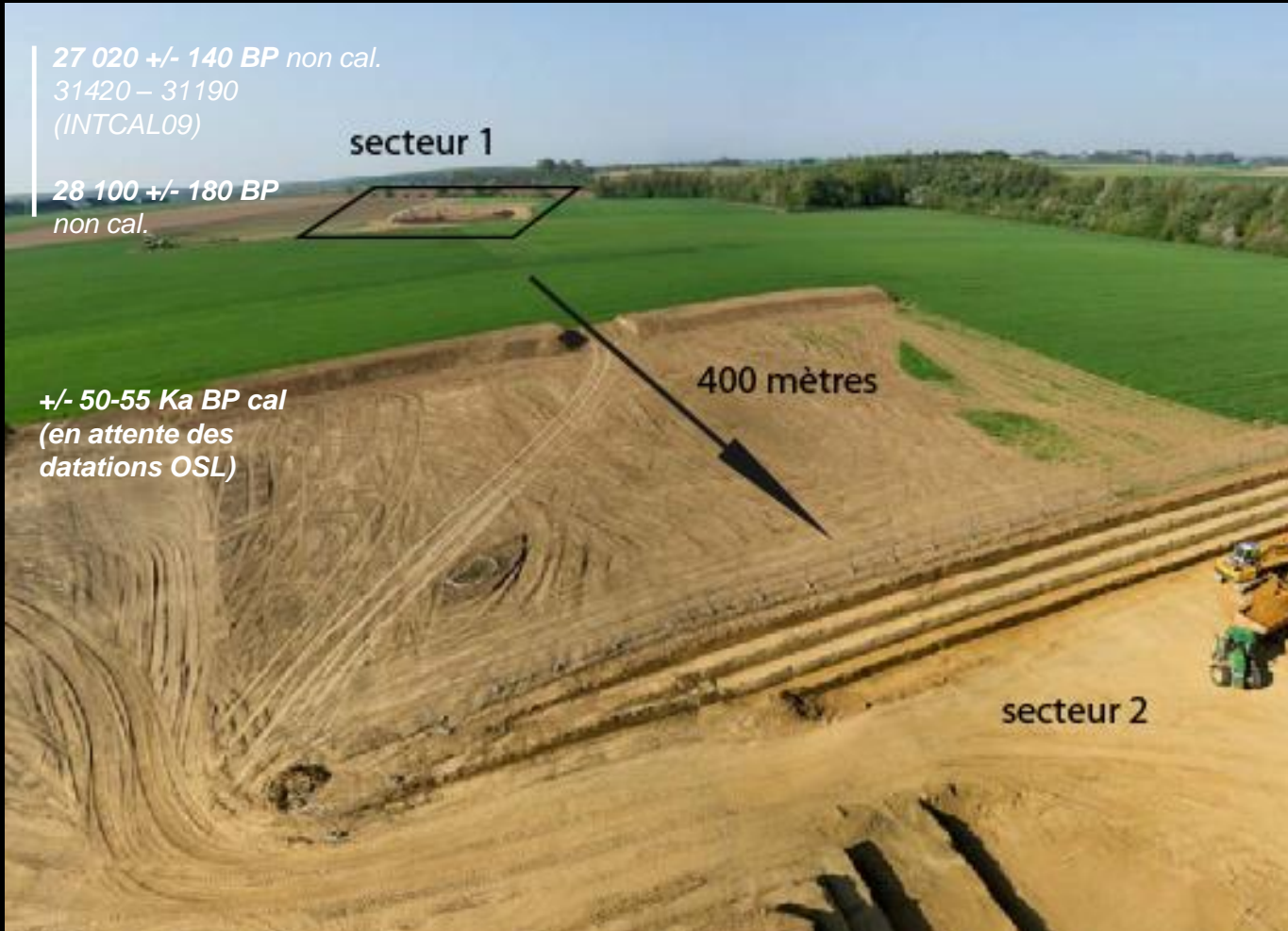
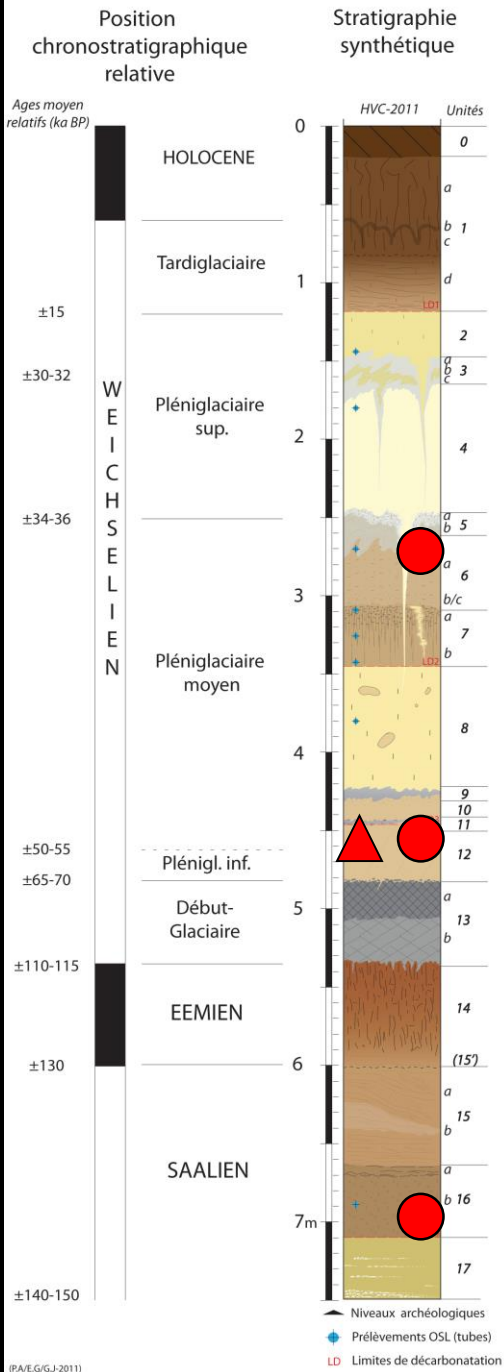
Des prélèvements effectués en nombre et par différentes approches pour un calage chronostratigraphique précis et fiable

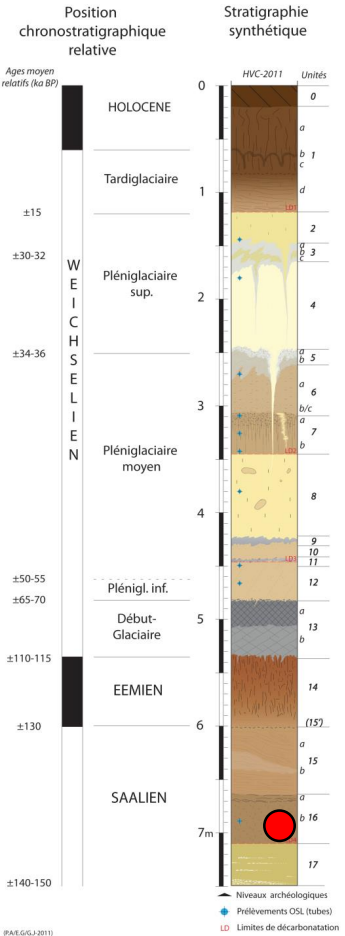


Stratigraphie synthétique régionale

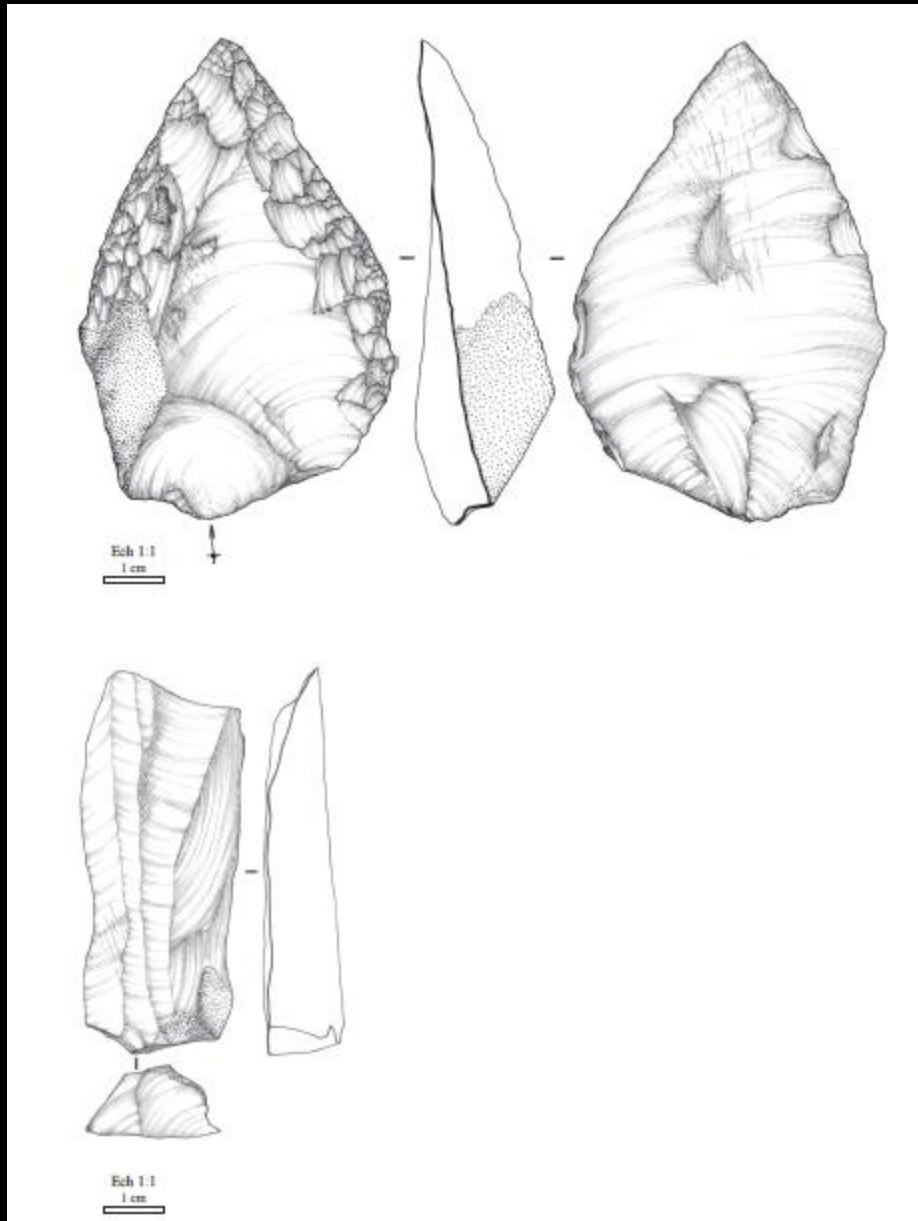


Les principaux résultats archéologiques

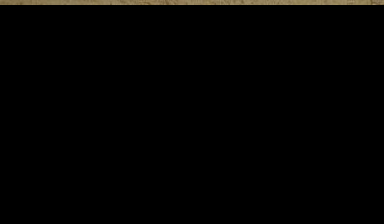
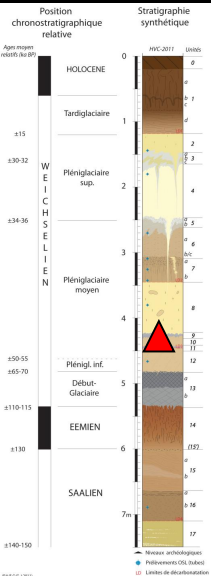




Les principaux résultats archéologiques (secteur 2)

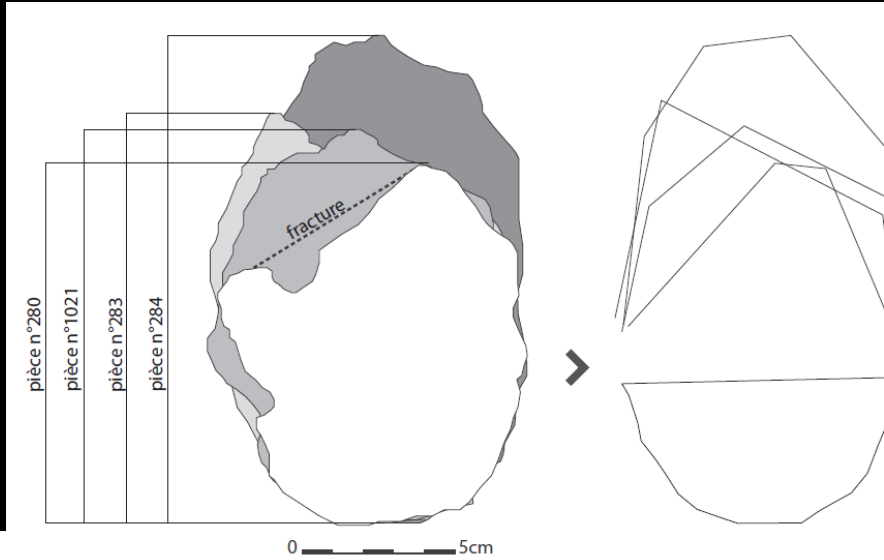
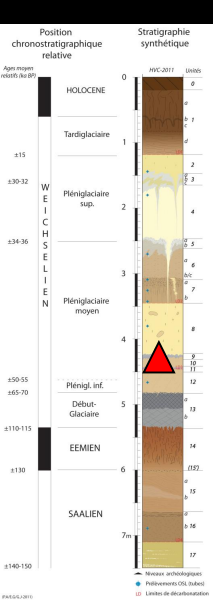


Les principaux résultats archéologiques (secteur 1)



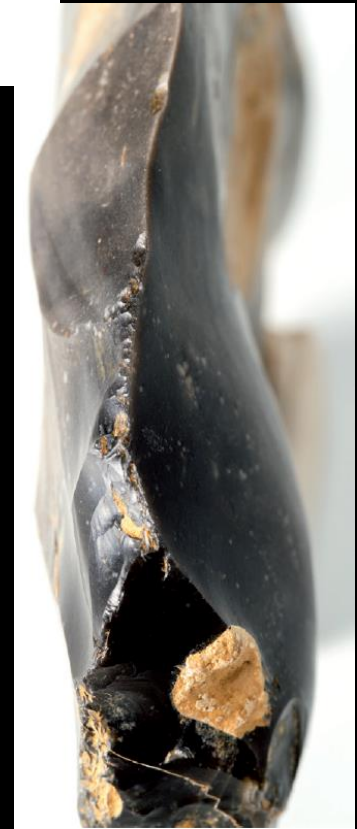
Les principaux résultats archéologiques (secteur 1)

La tracéologie : des résultats encourageants



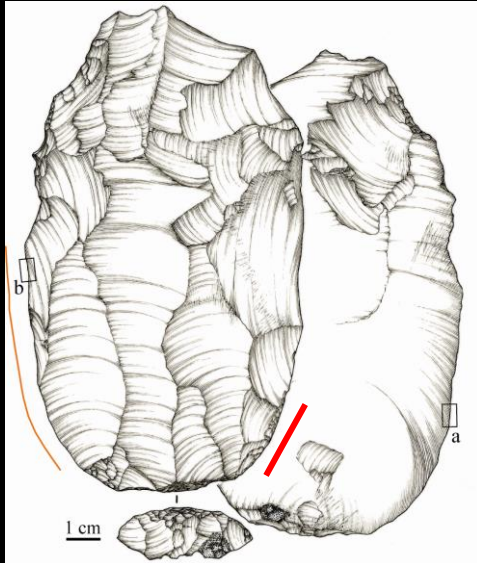
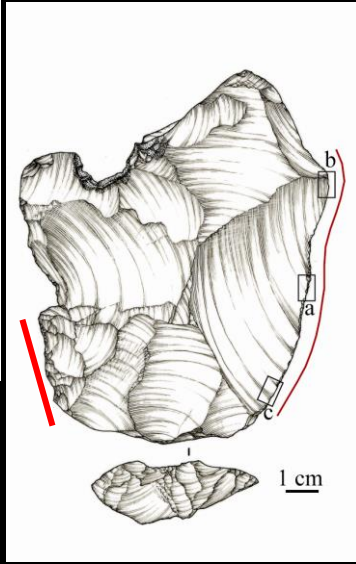
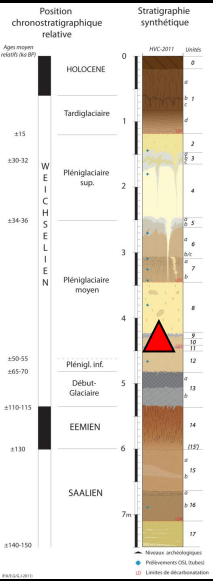
Schématiquement, les parties apicales sont différentes d'un éclat à l'autre

La partie basale de la pièce est commune à tous les éclats Levallois préférentiels

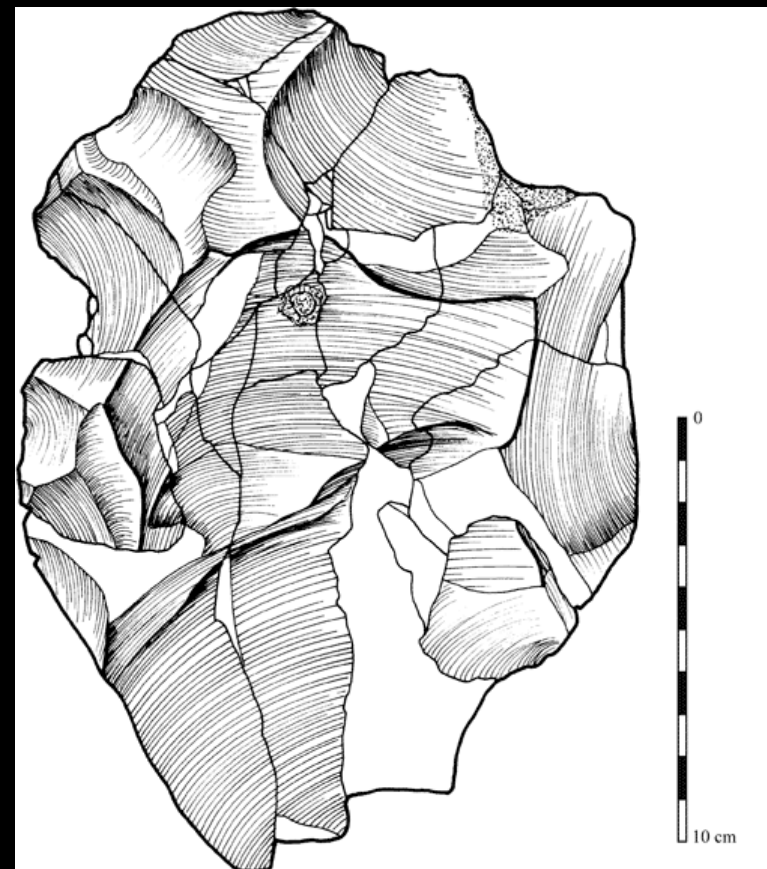
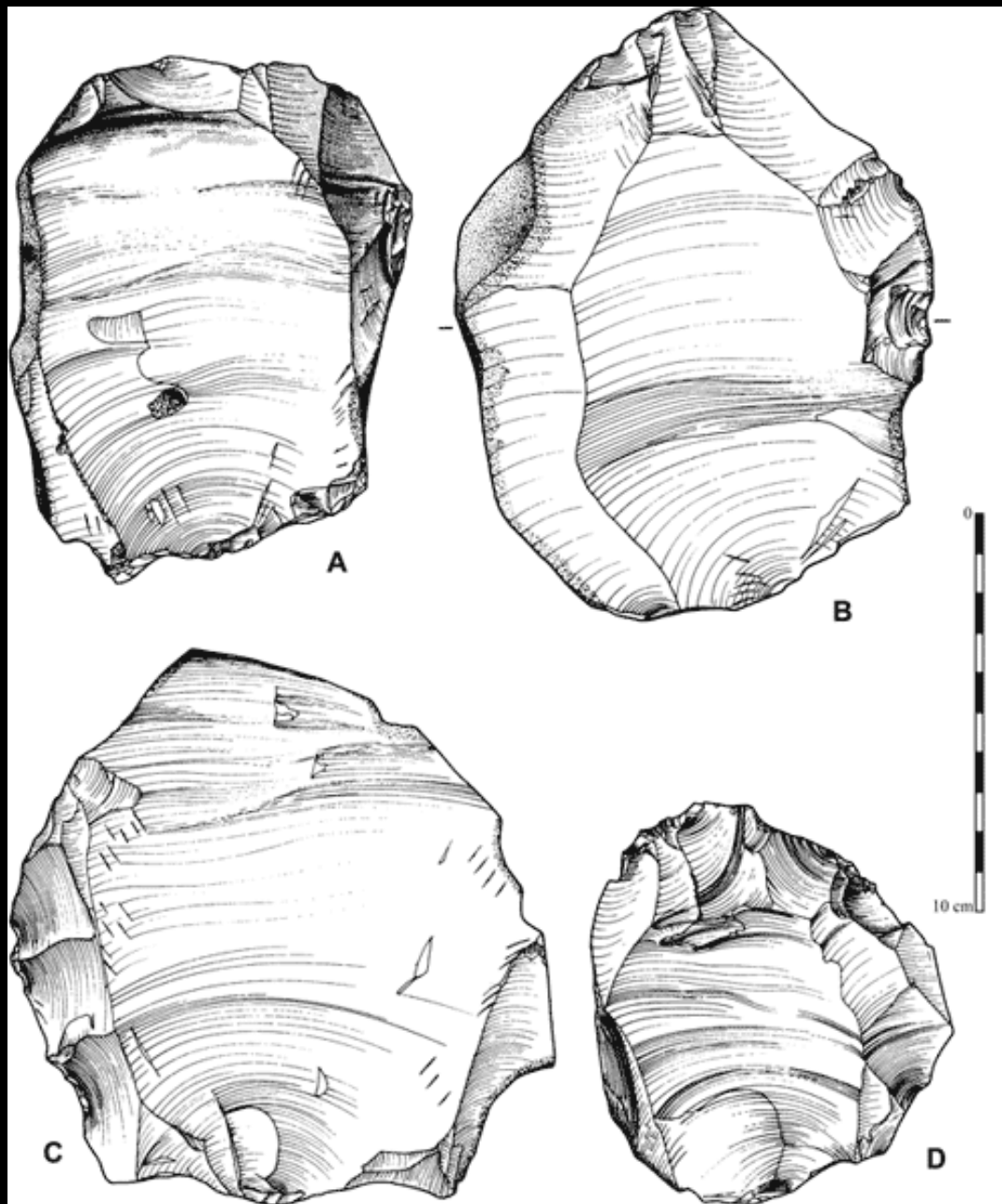


Les principaux résultats archéologiques (secteur 1)

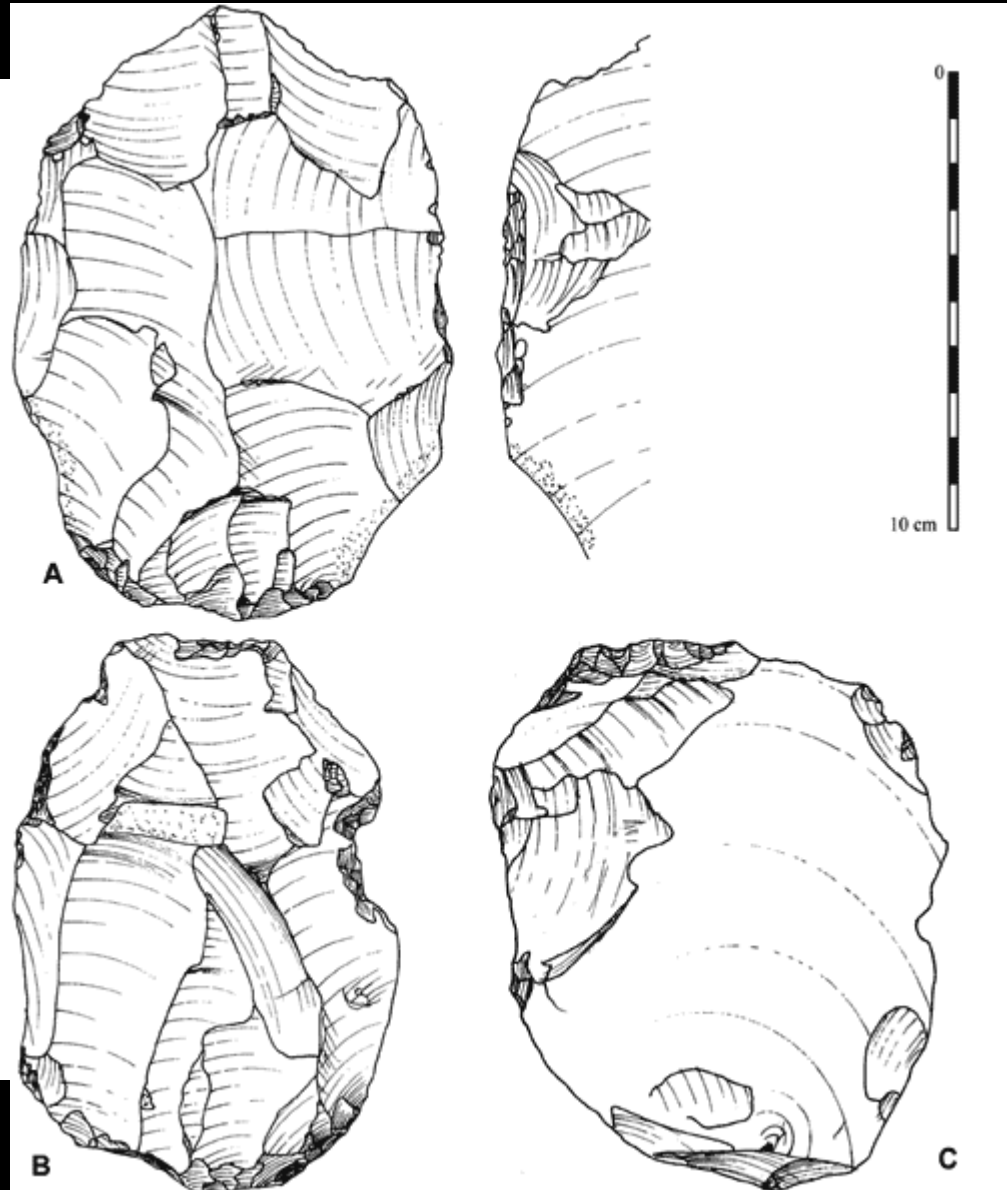
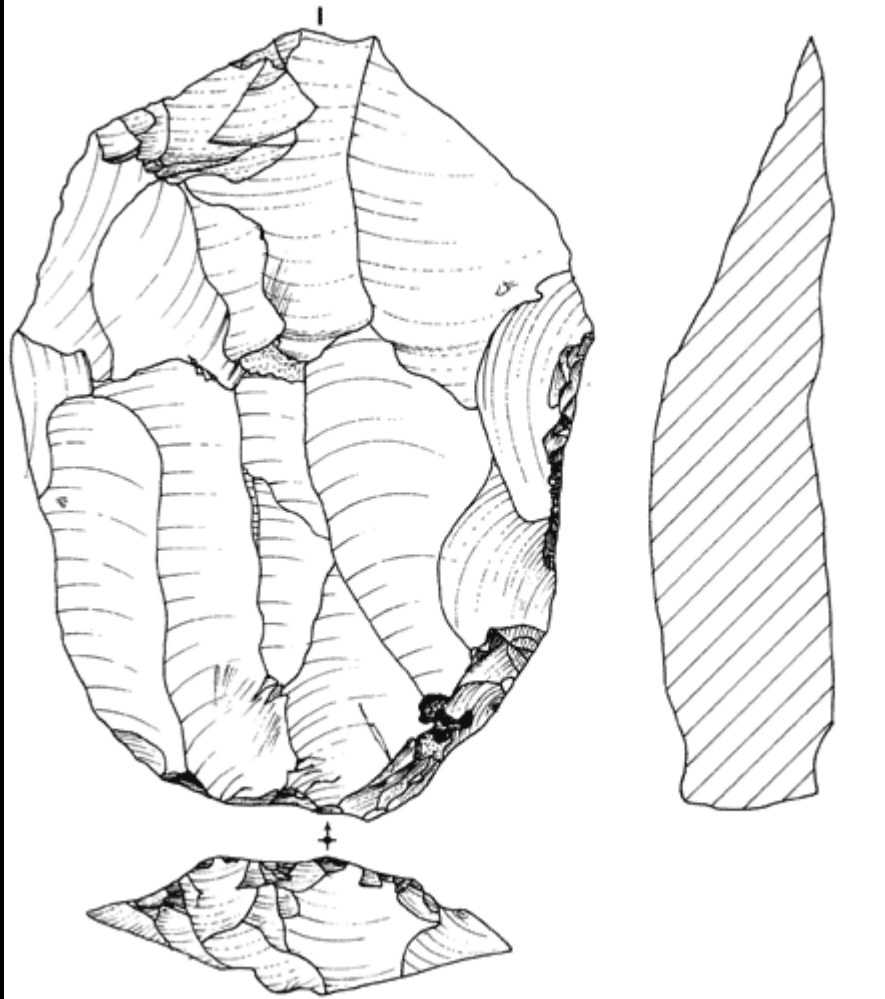
La présence d'une retouche adjacente au bulbe caractéristique



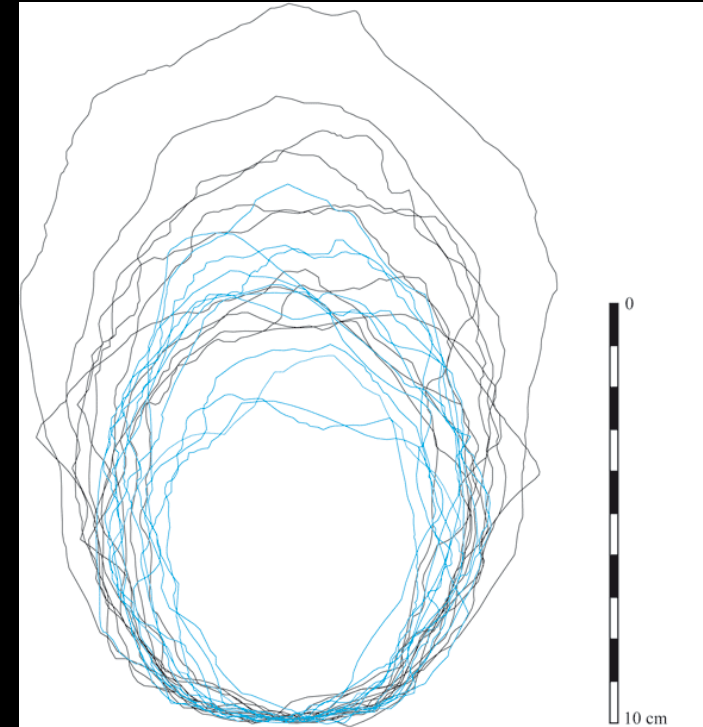
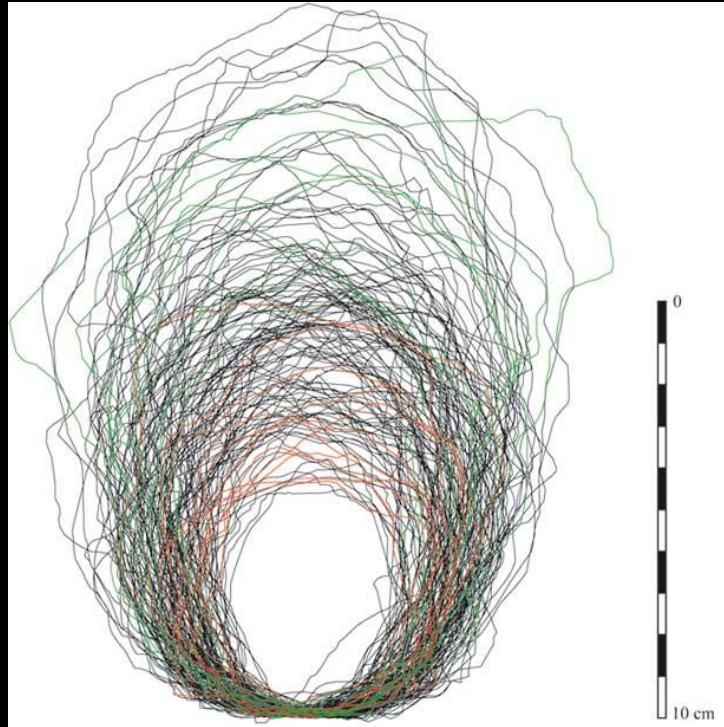
Les principaux résultats archéologiques (secteur 1) Hermies Le champ Bruquette



Les principaux résultats archéologiques (secteur 1) Hermies Le champ Bruquette

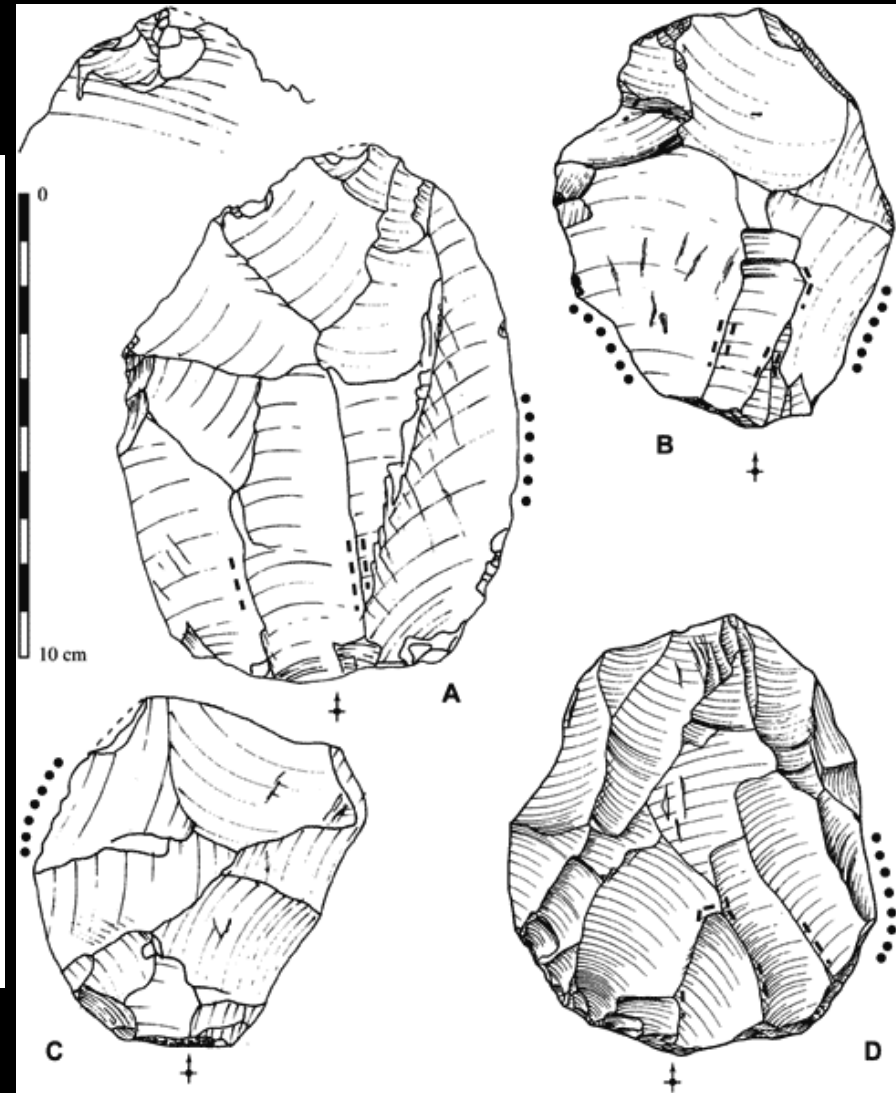
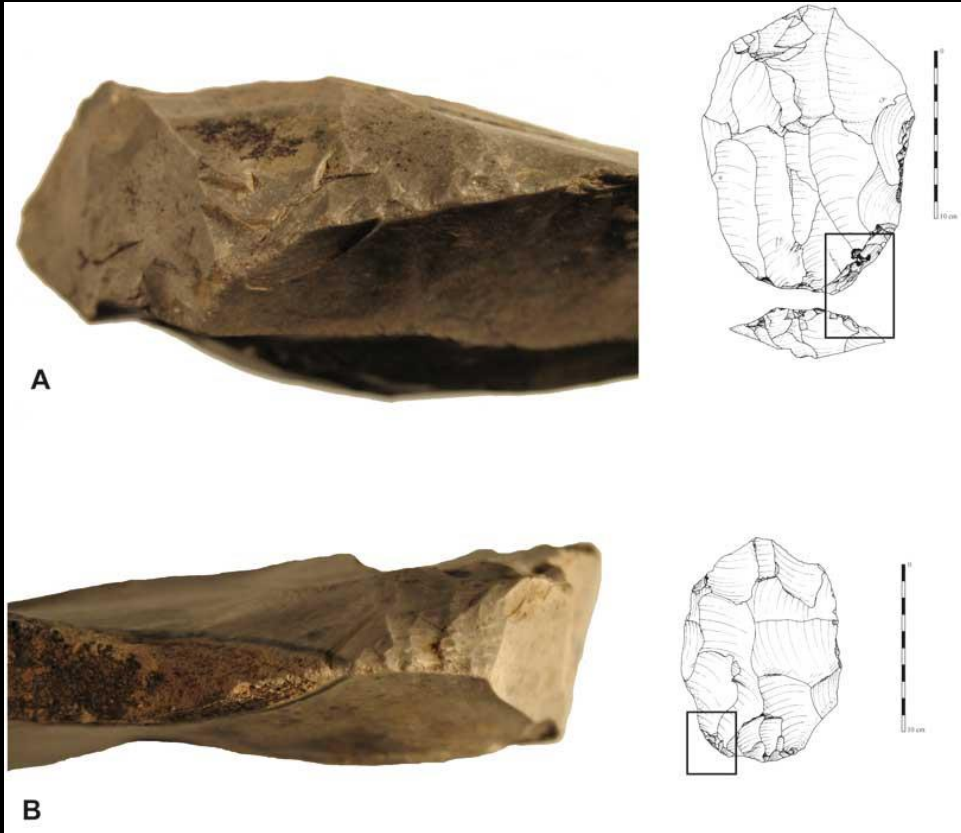


Les principaux résultats archéologiques (secteur 1) Hermies Le champ Bruquette



Niveau d'occupation	Longueur moyenne (éclats préférentiels entiers)	Allongement moyen (éclats préférentiels entiers)	Poids moyen (éclats préférentiels entiers)	Périmètre moyen sans talon (éclats préférentiels entiers)	Nombre
HTM, complexe de Saint-Acheul	97,1 mm (écart-type : 26,14)	1,28 (écart-type : 0,24)	151,1 g (écart-type : 129,89)	246 mm (écart-type : 62,3)	103
HCB, loess du Pléniglaciaire inférieur (niv. a)	94,4 mm (écart-type : 22,85)	1,22 (écart-type : 0,23)	135,4 g (écart-type : 93,8)	240 mm (écart-type : 60,9)	22
HCB, surface du cailloutis (niv. b)	91,4 mm (écart-type : 12,20)	1,28 (écart-type : 0,32)	138 g (écart-type : 106,5)	215 mm (écart-type : 60,6)	5
HTM, surface du cailloutis	100,3 mm (écart-type : 21,87)	1,44 (écart-type : 0,17)	130,5 g (écart-type : 95,17)	261 mm (écart-type : 56,2)	3

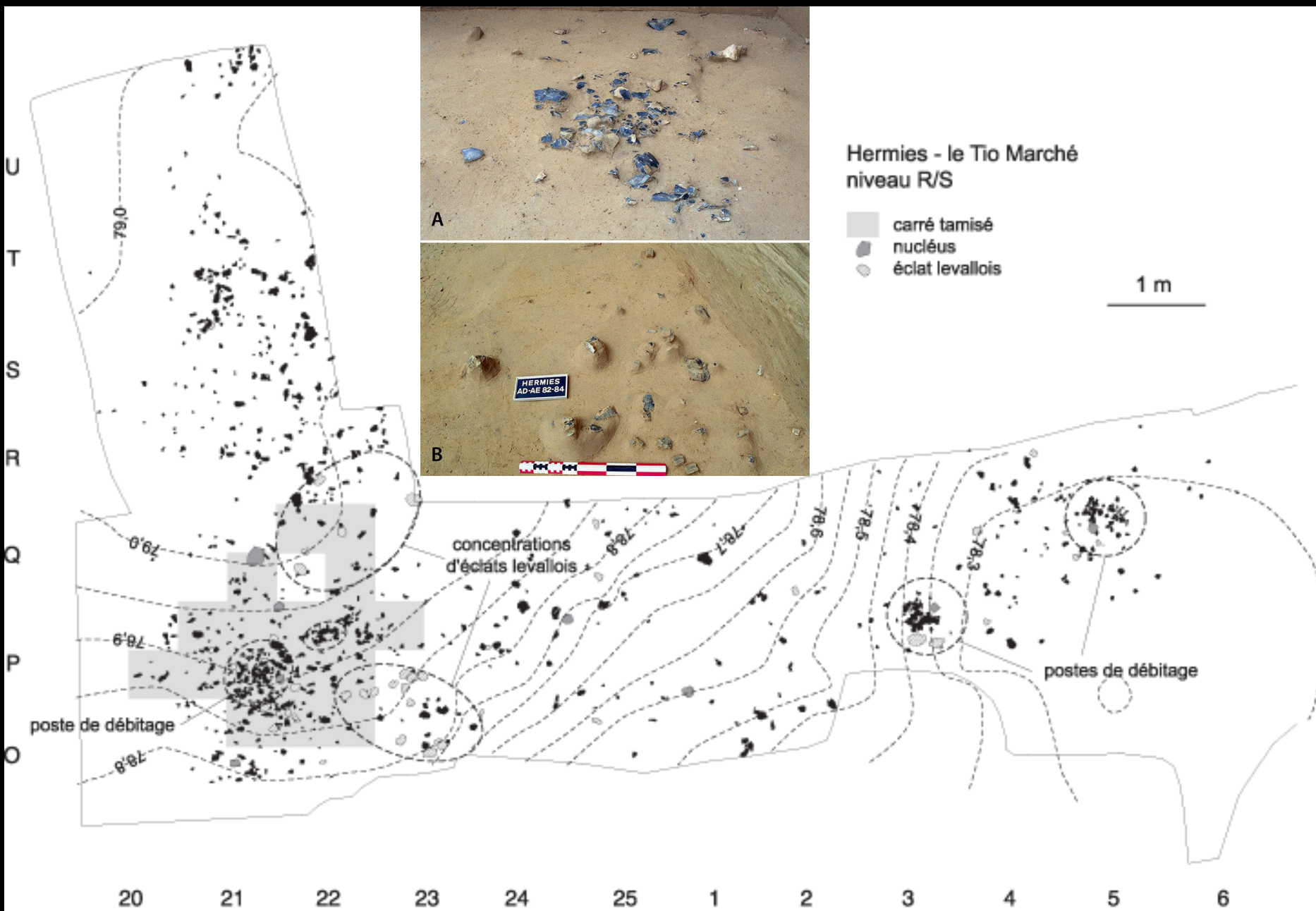
Les principaux résultats archéologiques (secteur 1) Hermies Le champ Bruquette



Les principaux résultats archéologiques (secteur 1)

Hermies Le champ Bruquette

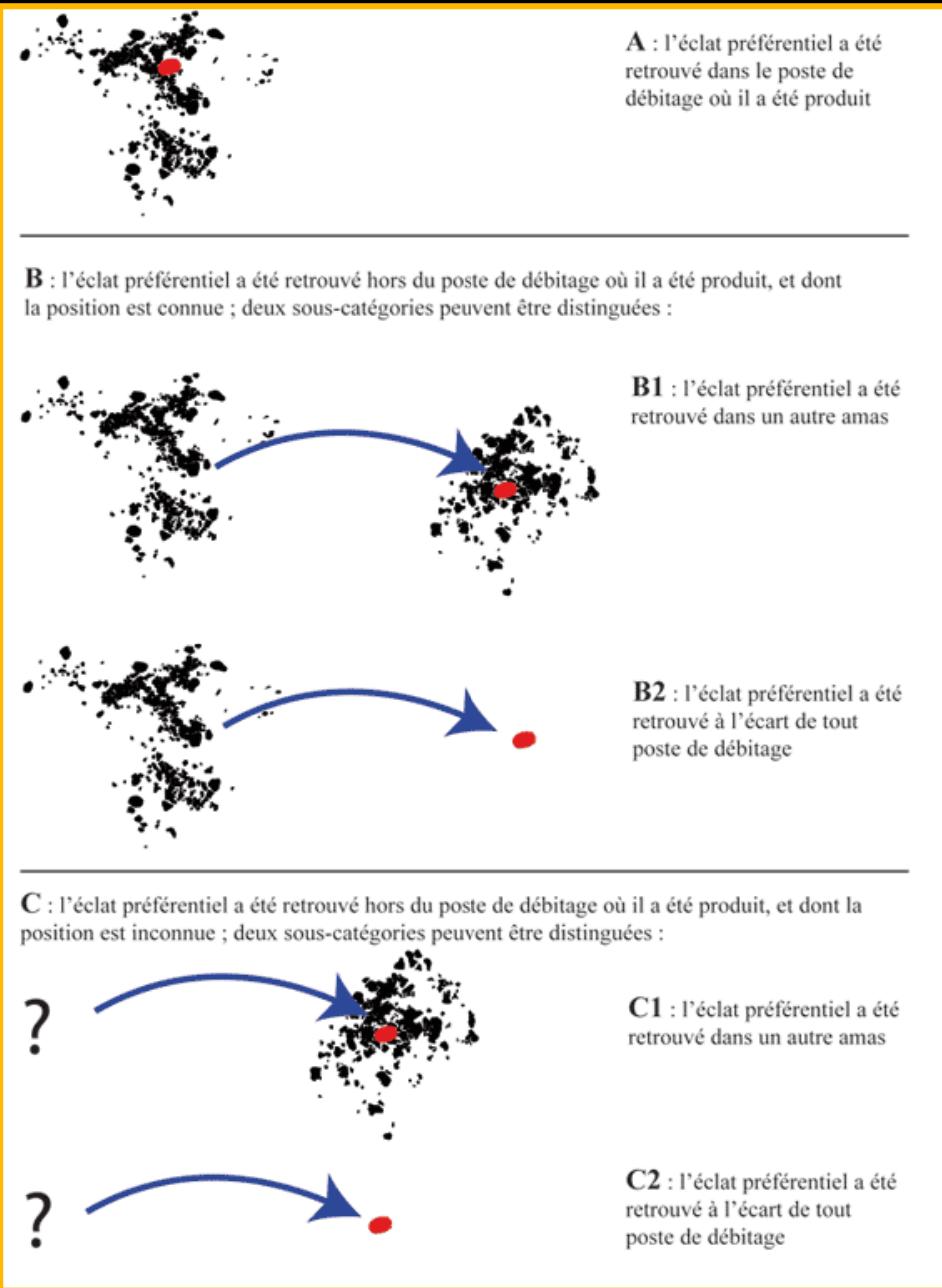
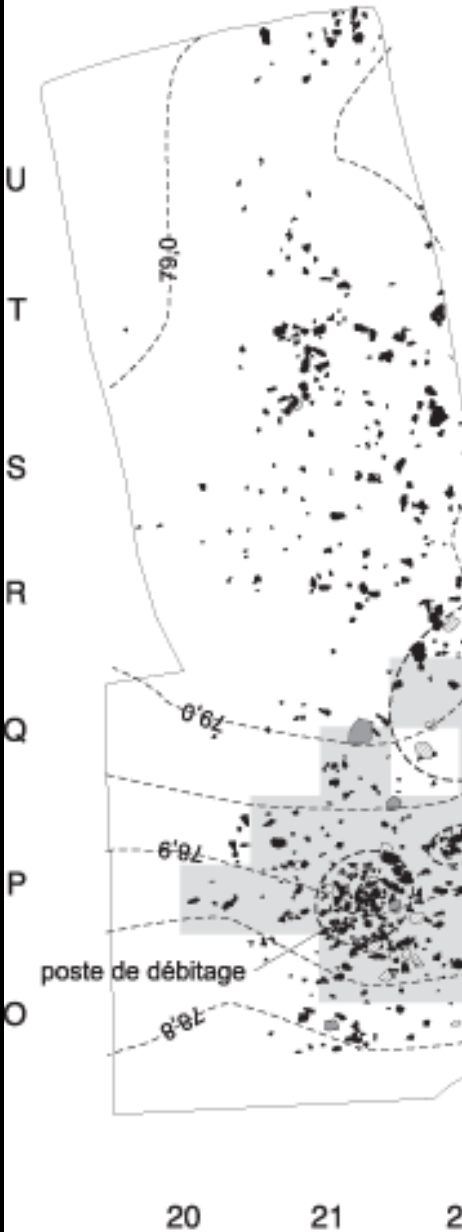
Vallin et al., 2006 Paléo



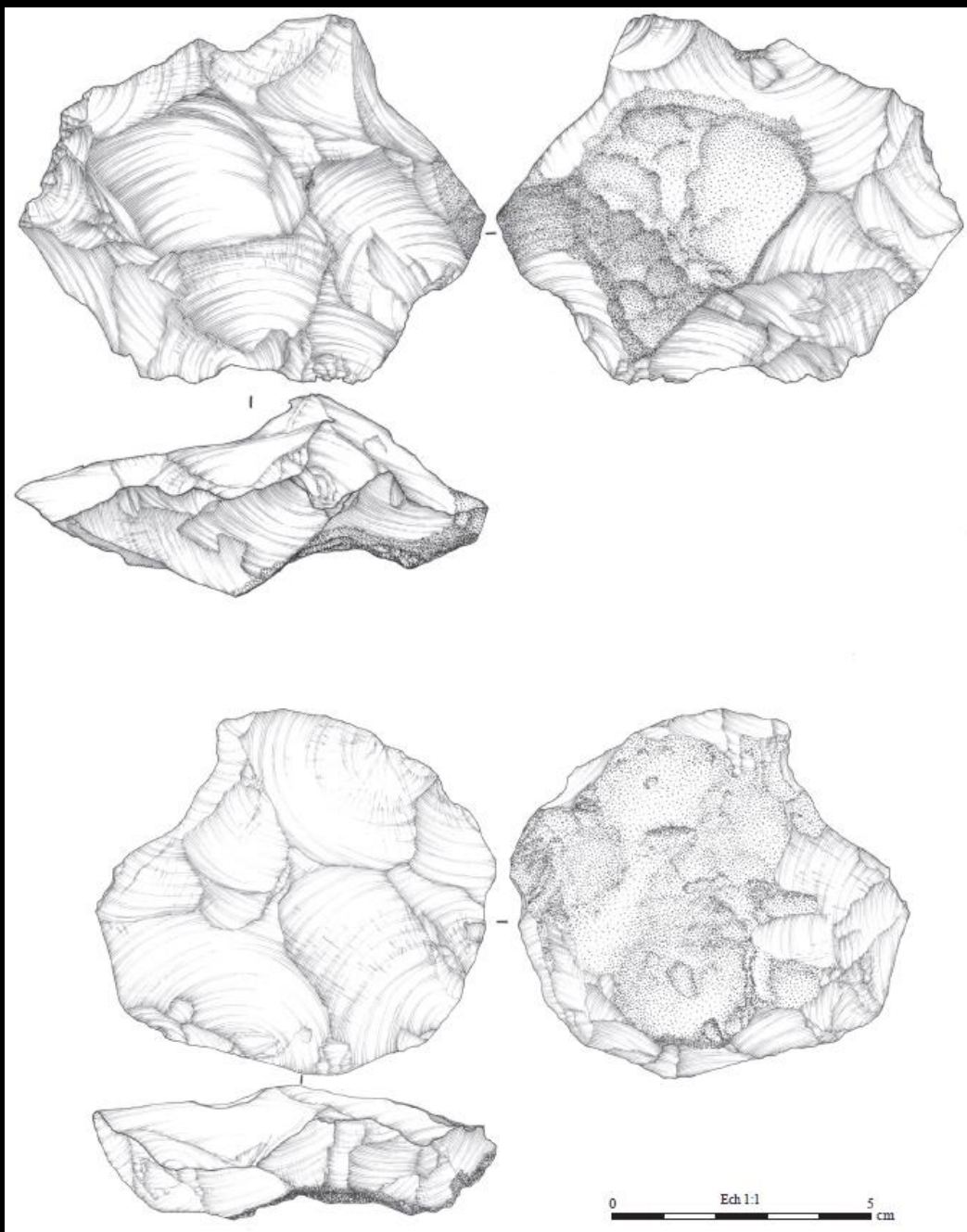
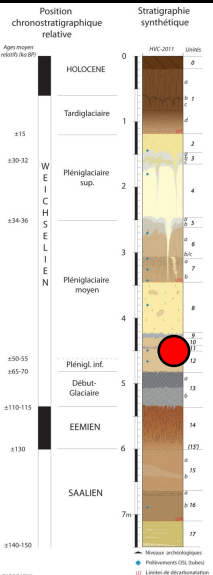
Les principaux résultats archéologiques (secteur 1)

Hermies Le champ Bruquette

Vallin et al., 2006 Paléo



Les principaux résultats archéologiques (secteur 2)



Les principaux résultats archéologiques (secteur 2)

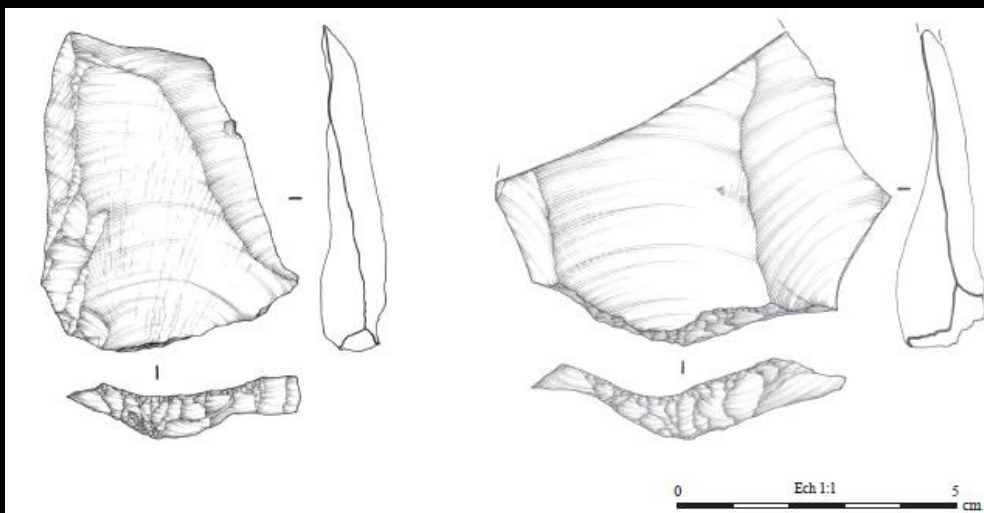
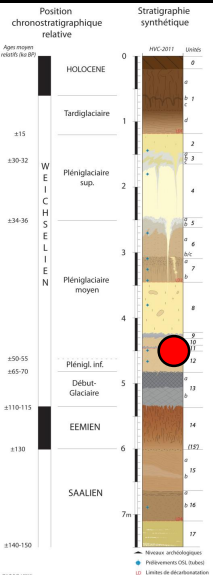
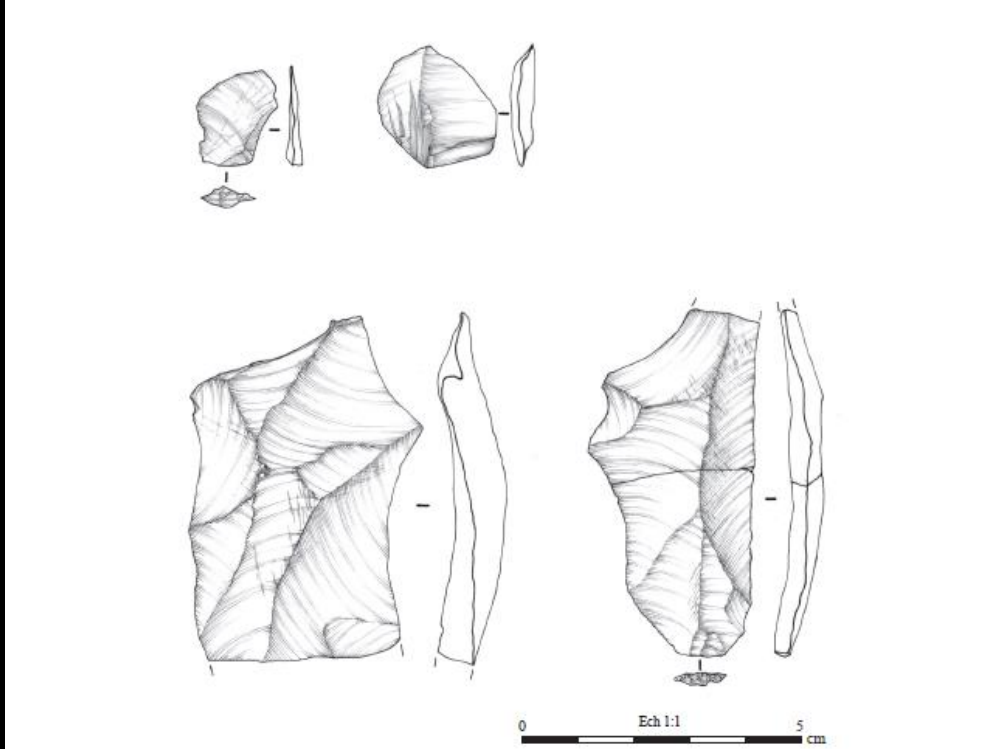


Figure 52 - Haymoncourt, secteur 2 - N1 : Eclats Levallois (dessin : E. Bostand-Balaur).



Les principaux résultats archéologiques (secteur 2)

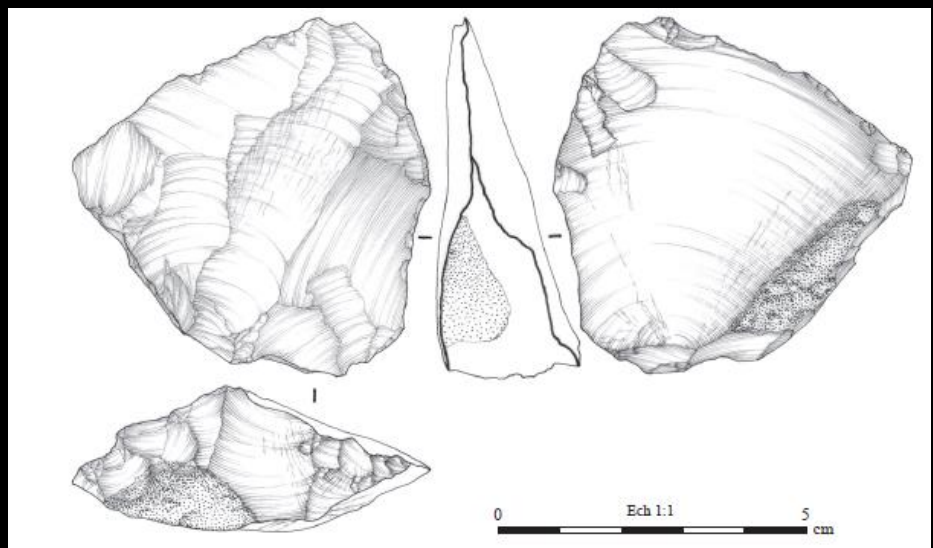
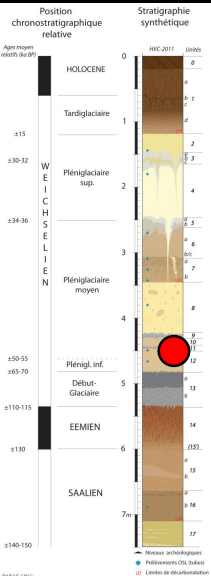
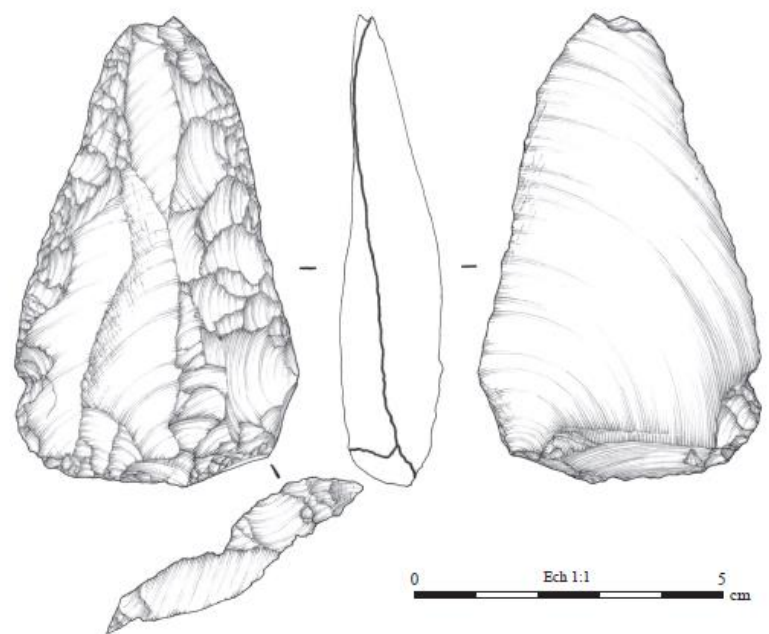
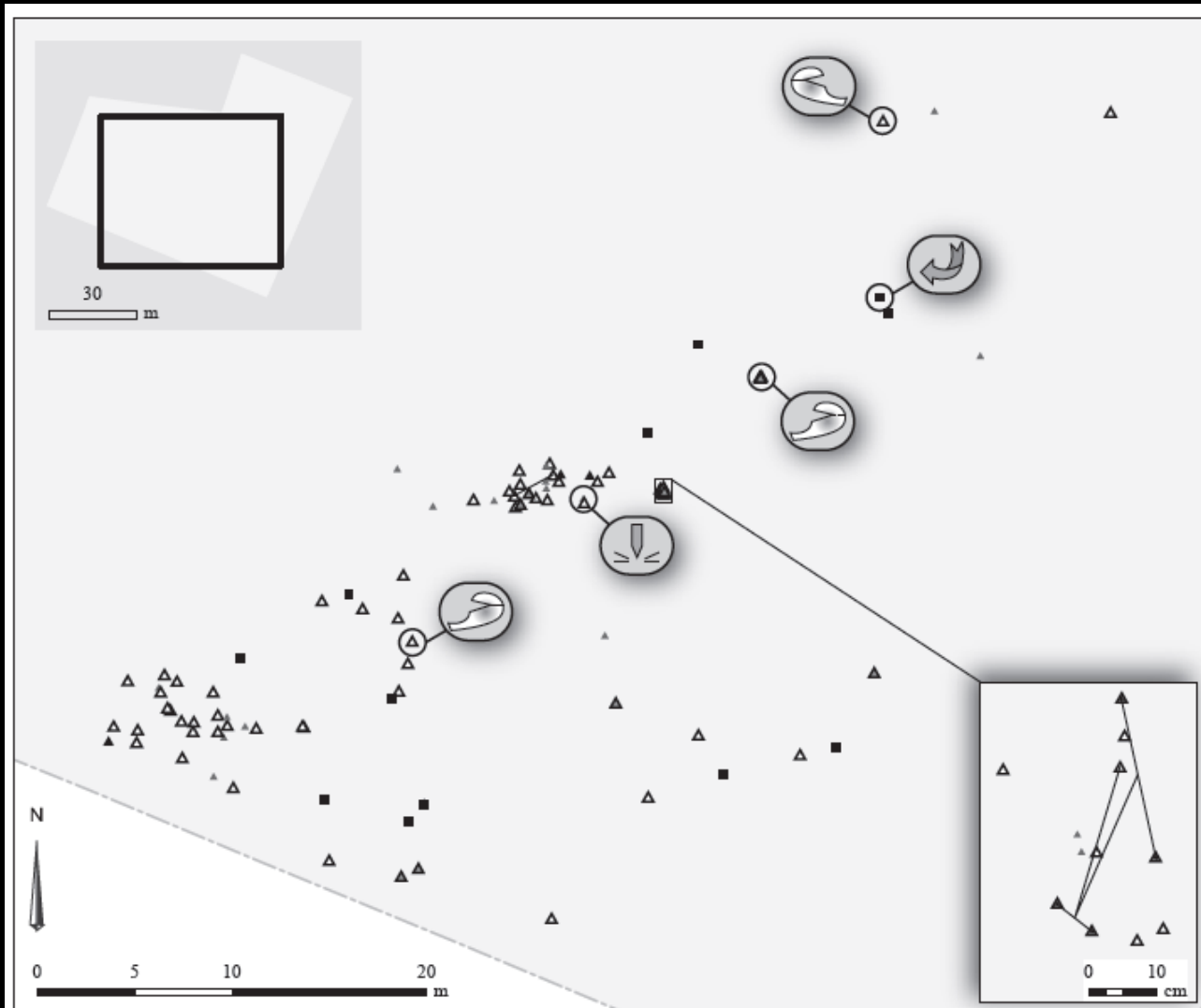
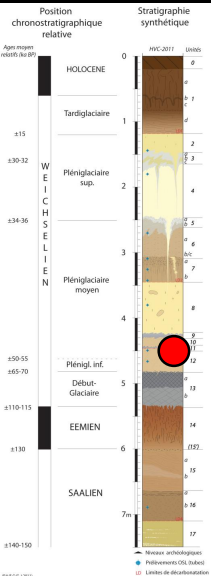


Figure 54 - Harnincoart, secteur 2 - N1 : Pointe pseudo-Levallois (dessin : E. Boizard-Bidant).



Les principaux résultats archéologiques (secteur 2)



Niveau Hav.2-N1

Catégorie

- △ Eclat
- ▲ Eclat Levallois
- ▲ Nucleus
- ▲ Autre catégorie

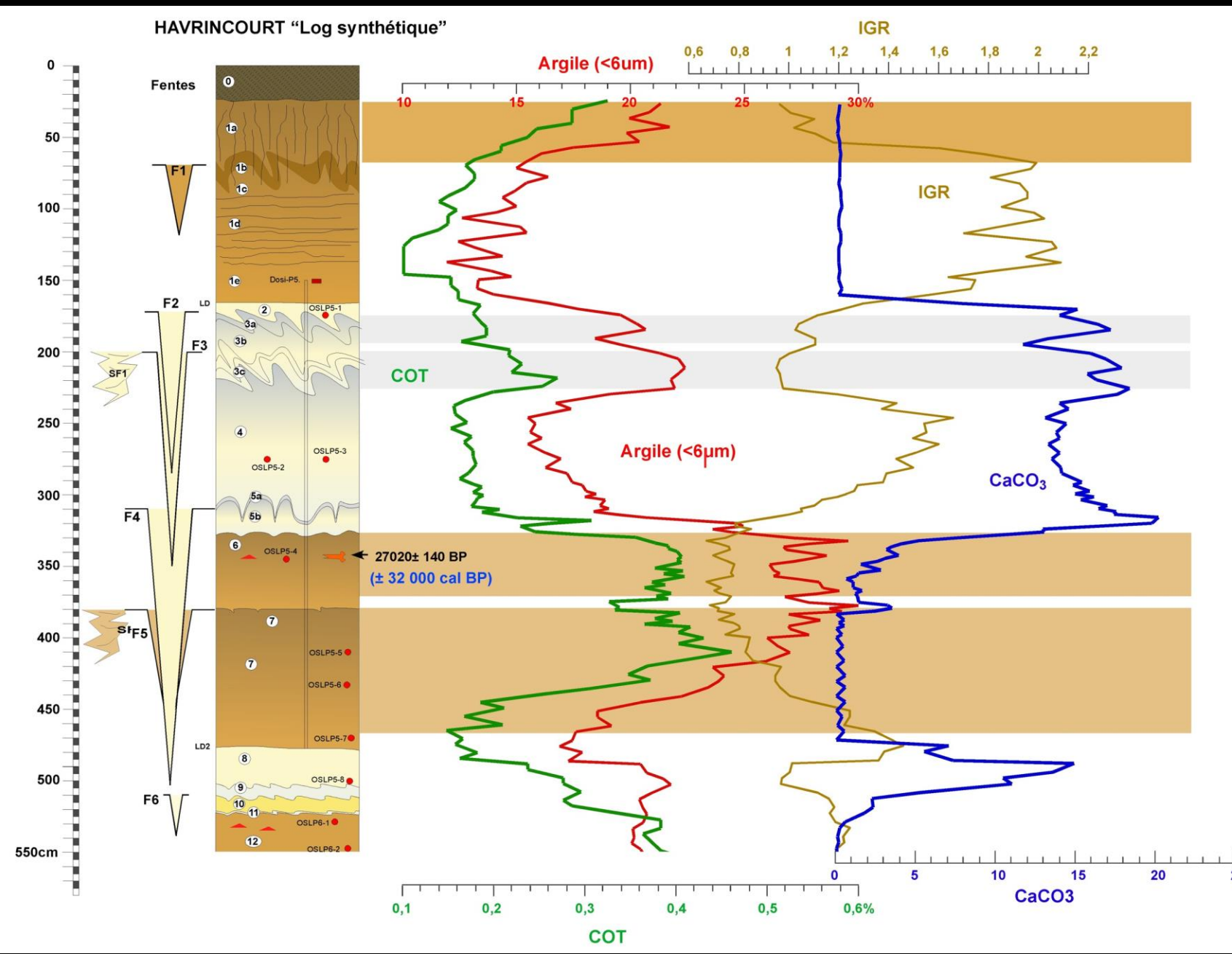
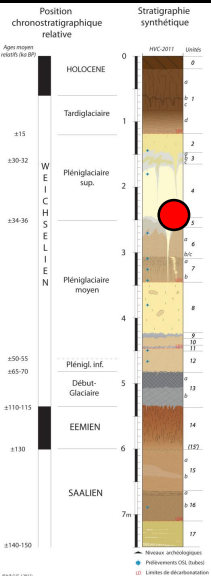
- Faune
- Emprise de fouille

- Remontage
- Raccord

Traces d'utilisation

- Fracture hélicoïdale sur diaphyse
- Trace de découpe de matière tendre
- Trace de percussion sur matière dure

Les principaux résultats archéologiques (secteur 2)





Upper Pleniglacial loess
(± 30ka)

Tundra gley (AL)

AGE ¹⁴C
27 020 +/- 140 BP
28 100 +/- 180 BP

Arctic
Brown
Soil
(Bw)



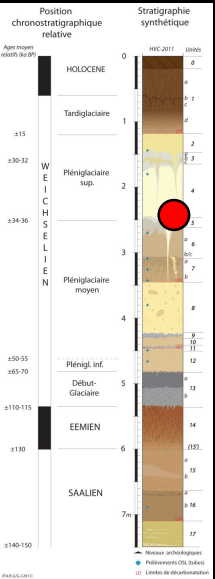
Les principaux résultats archéologiques (secteur 2)



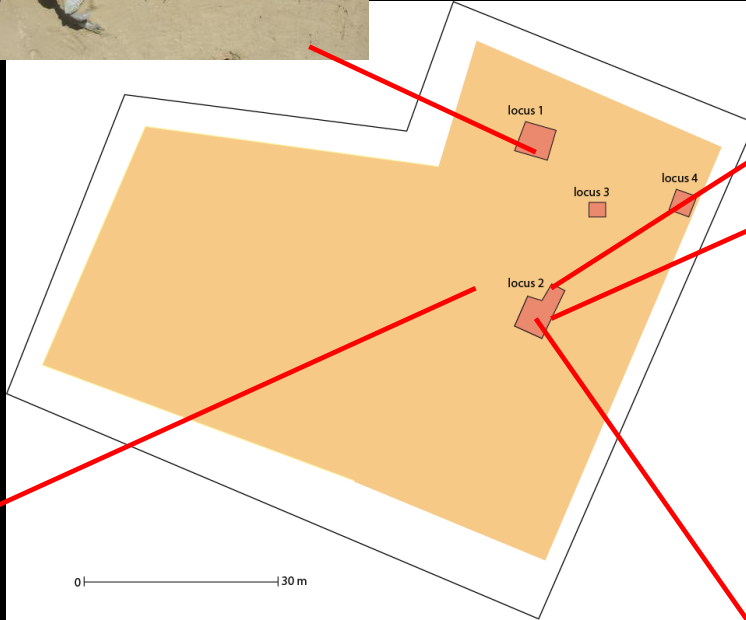
Les principaux résultats archéologiques (secteur 2)



Les principaux résultats archéologiques (secteur 2)

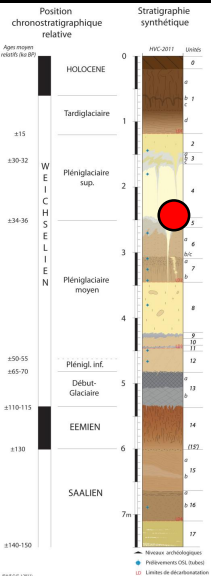


4 concentrations où le silex est associé à la faune.
Chaque concentration s'étend de 2 à 10 m² et comporte de 100 à 450 artefacts



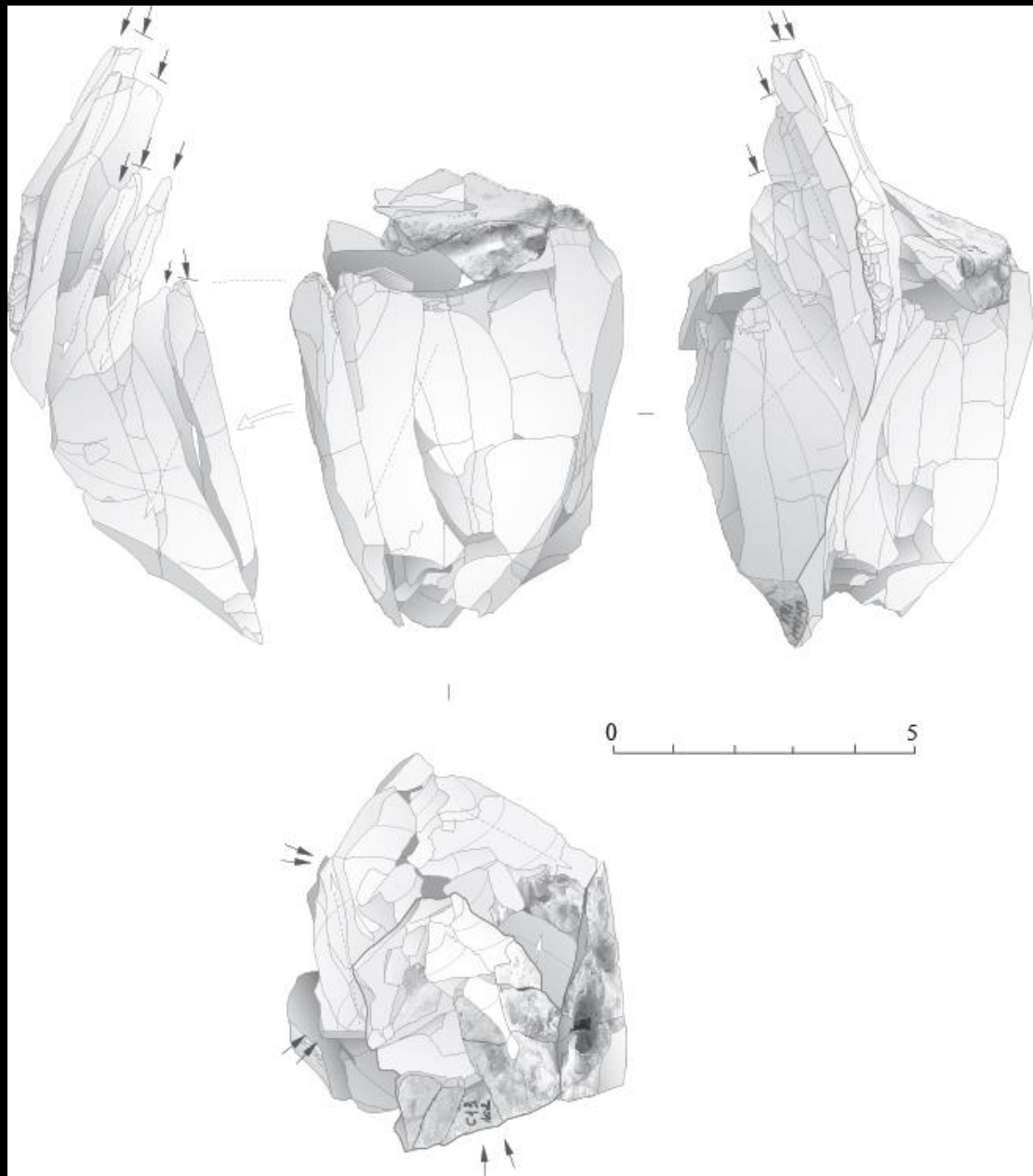
Environ 7800 artefacts (dont 5050 esquilles)
Environ 400 restes de faune





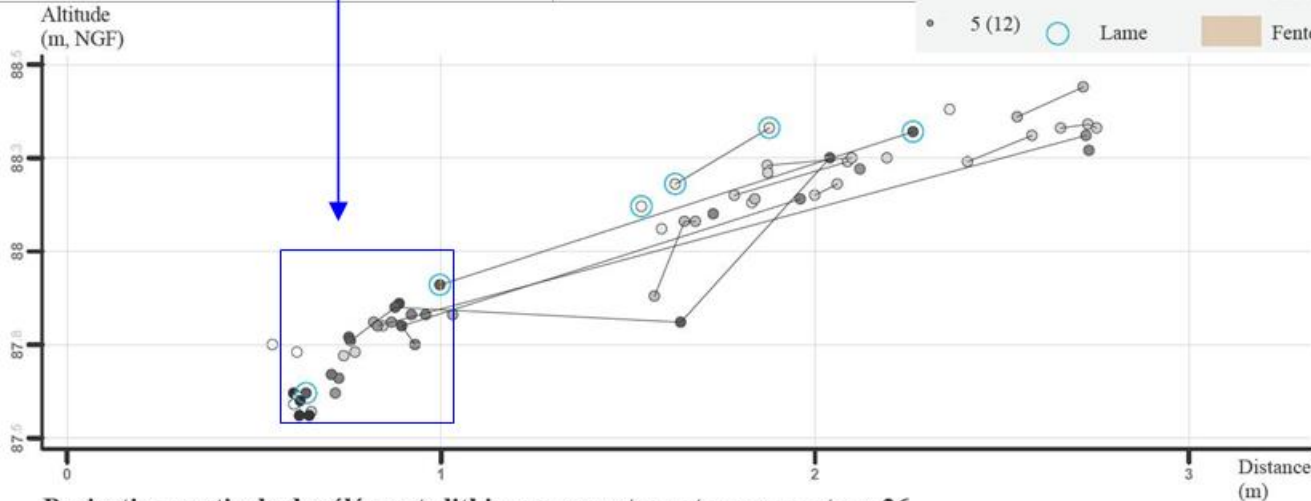
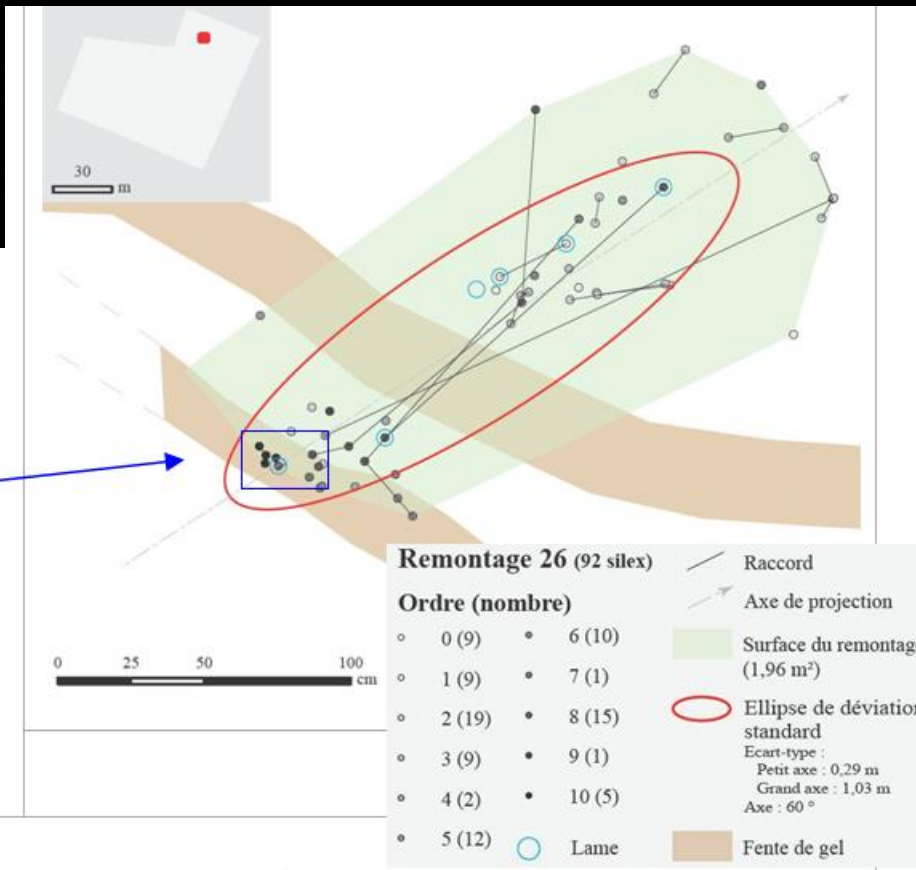
Les principaux résultats archéologiques (secteur 2)

Une industrie sans élément diagnostic !

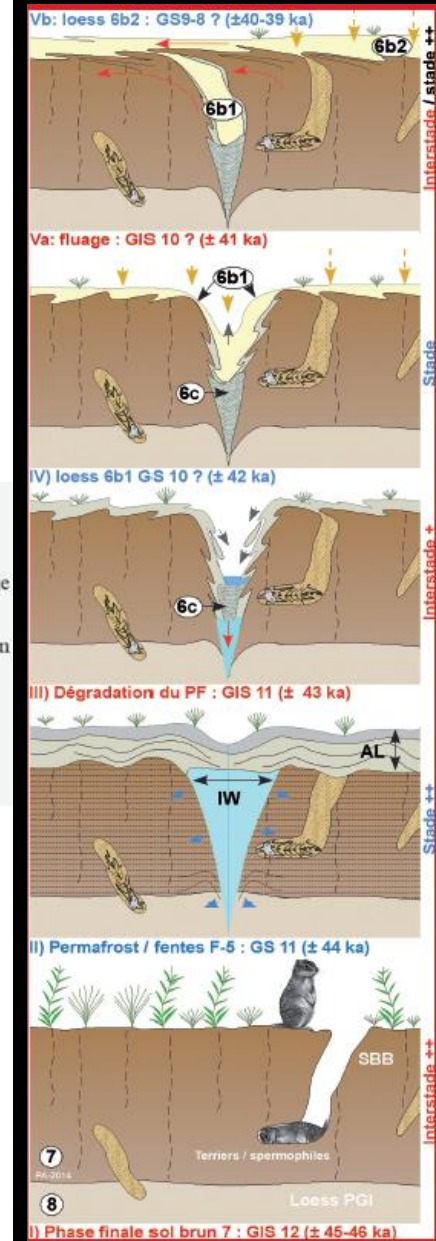


Remontage dont les 34 artefacts se concentrent sur 3 mètres carrés

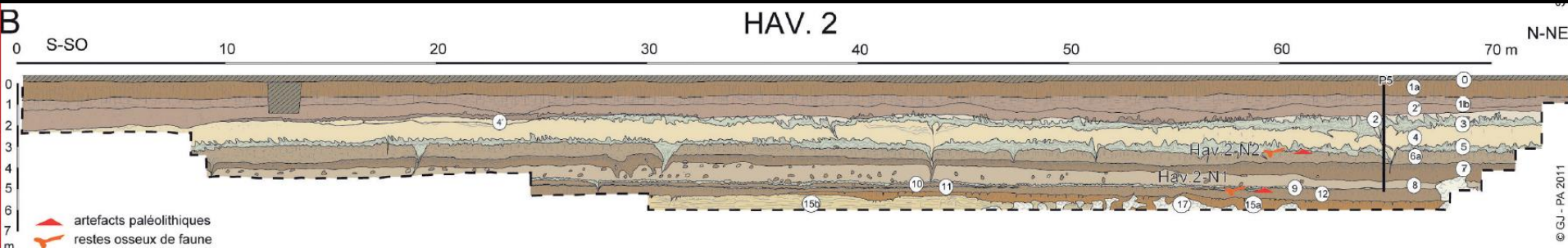
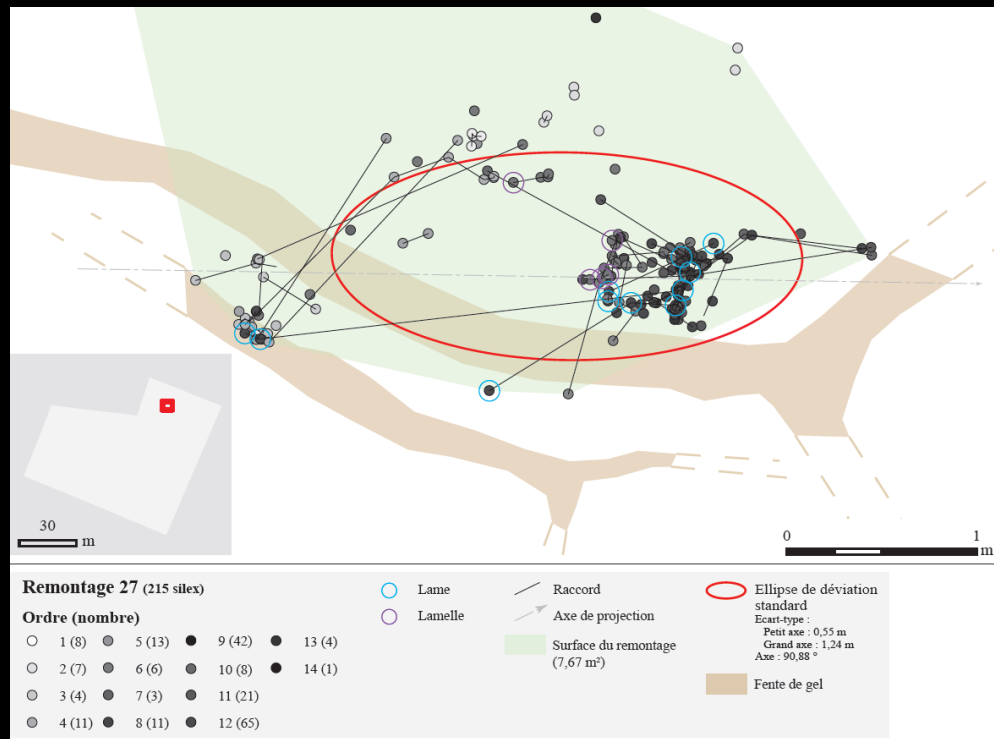
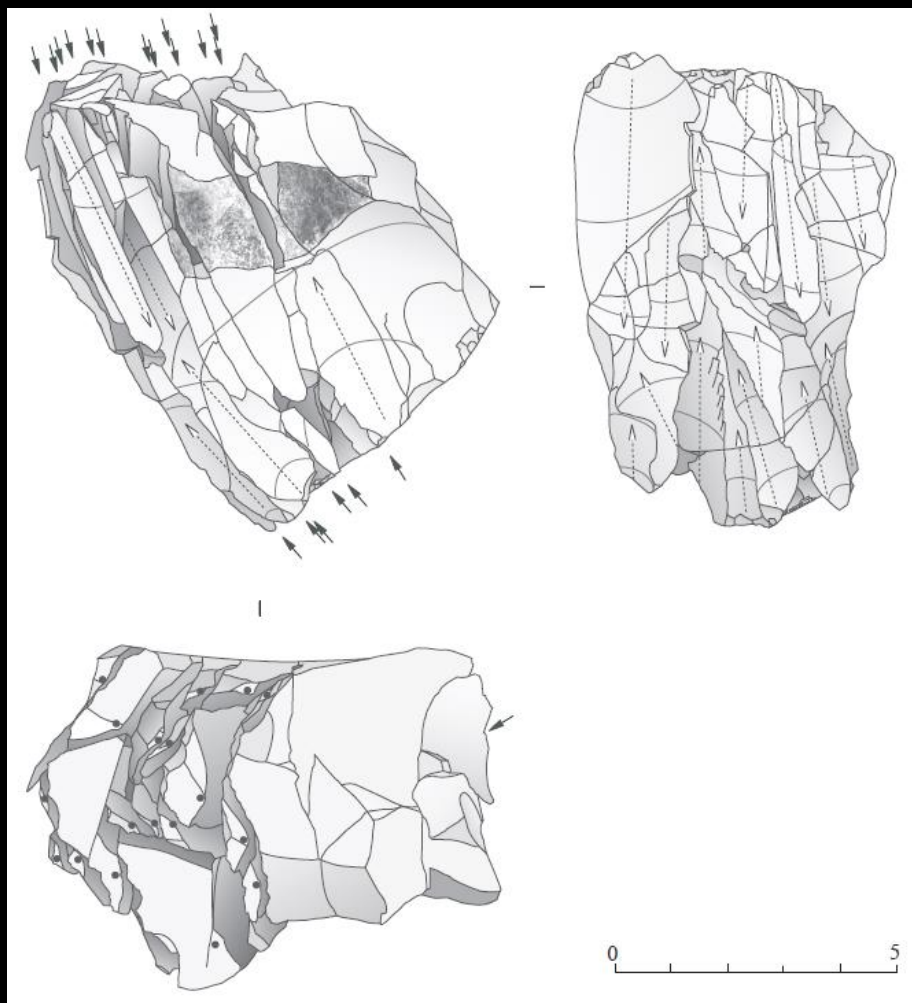
Les principaux résultats archéologiques (secteur 2)



Projection verticale des éléments lithiques appartenant au remontage 26



Les principaux résultats archéologiques (secteur 2)



EN CONCLUSION

- **Séquence particulièrement complète pour le Nord de la France entre ± 65 et 25-30 ka BP (attente datation OSL en cours)**
- **Bipartition du complexe de sols bruns du PGM**
- **niveaux à grandes de fentes (ice-wedges) : 2 PGS et 1 PGM (Complexe de sols) et un niveau de permafrost principal ± 30 ka (réseau polygonal grande maille)**
- **Ces deux fouilles d'Havrincourt ont livré trois niveaux paléolithiques in situ intéressants.**
- **Deux niveaux sub-contemporains attribuables au début du Pléniglaciaire moyen s'insèrent dans un cadre régional peu documenté mais aux comparaisons locales prometteuses**
- **Le niveau paléolithique supérieur ancien est une découverte exceptionnelle pour le Nord de la France, en association avec de la grande faune (renne, Rhinocéros laineux, cheval, ...)**
- **Son étude apportera des données fondamentales pour appréhender les modalités de peuplement du Nord-ouest de l'Europe par Homo sapiens**

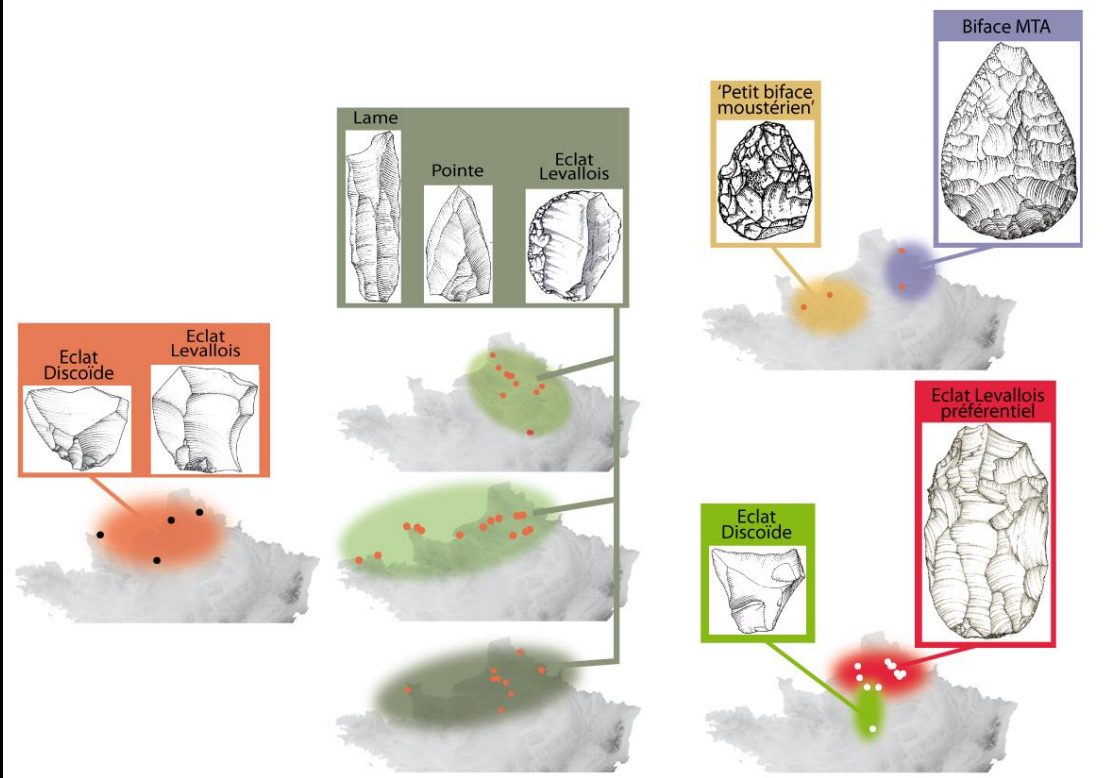
Technocomplexes et groupes culturels du Paléolithique moyen récent

MIS 5e

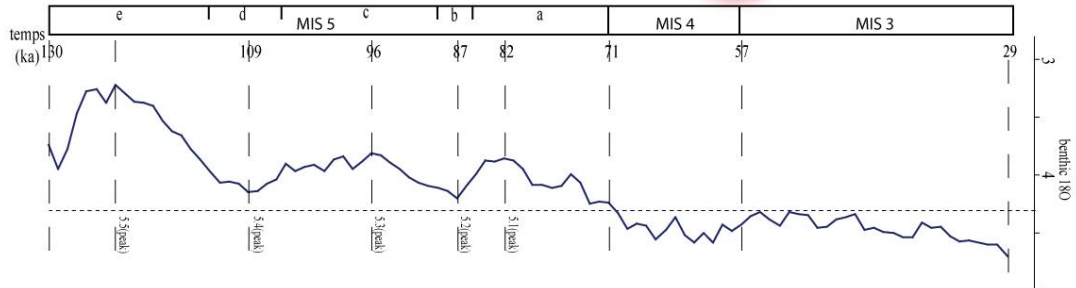
MIS 5c à 5a

MIS 4 à 3

- ✓ Groupes homogènes porteurs de technologies similaires
- ✓ Multiplication de groupes réduits à la fin du Paléolithique moyen
- ✓ Discontinuité du peuplement en lien avec les fluctuations climatiques confirmée MAIS à tempérer (Havrincourt)



« Technocomplexe du Nord-Ouest de l'Europe »



Merci pour votre attention ...



Merci à tous les collaborateurs et spécialistes qui ont contribué aux résultats de ces fouilles :

Pierre ANTOINE
Patrick AUGUSTE
Jean-Jacques BAHAIN
Eve BOITARD-BIDAULT
Olivier MOINE
Esther SCHMIDT
France LAGROIX
Gilles GUERIN
Hélène VALLADAS
Jean-Philippe DEGEAI
Vincent ROBERT
Emilie CLAUD

« Coup de chapeau » à l'équipe de fouille qui pendant 8 mois a travaillé dans la bonne humeur sous des conditions météorologiques pas toujours très clémentes :

Aurélien BOLO
Sylvie COUTARD
Frank DEFAUX
Hélène DJEMA
Caroline FONT
Guillaume GADEBOIS
Olivier GUERLIN
David HERISSON
Guillaume JAMET
Jean-Luc LOCHT
Pascal MATHYS
Chloé PFISTER